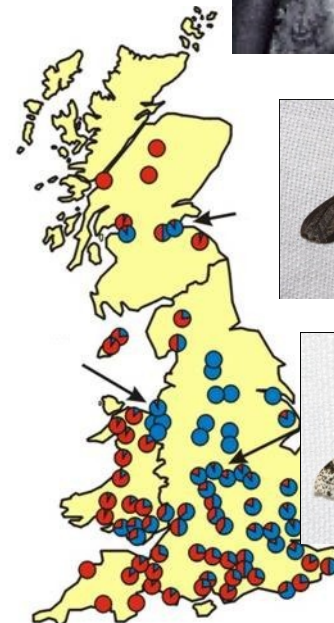
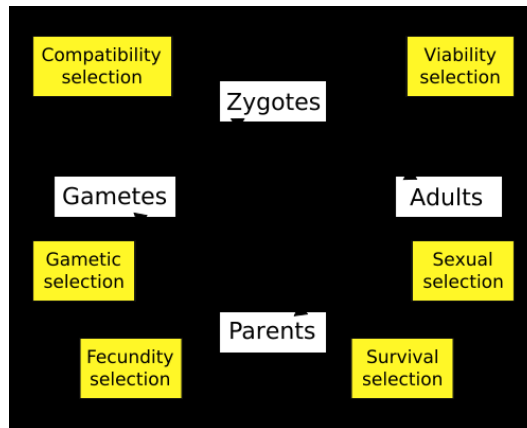
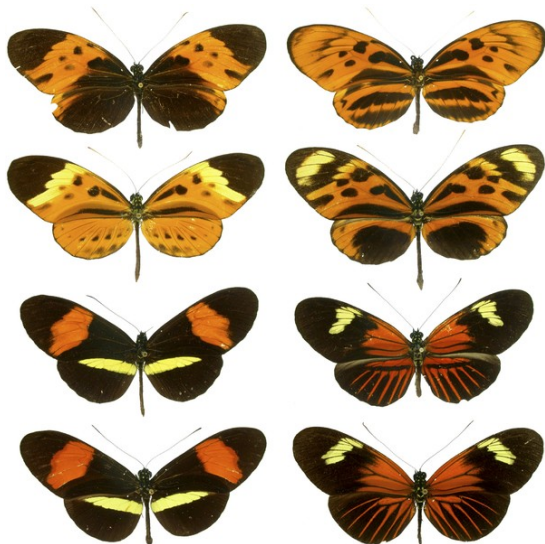
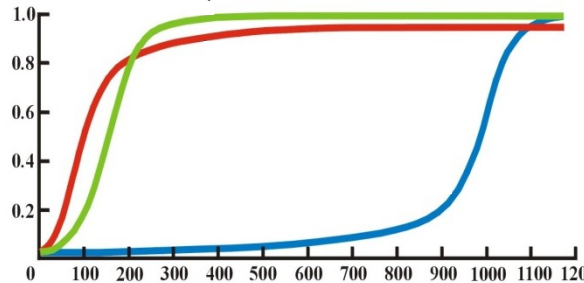
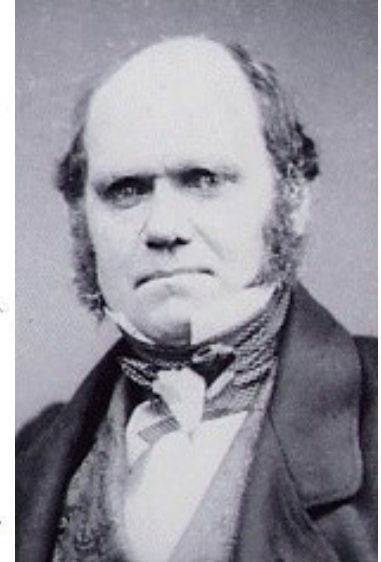
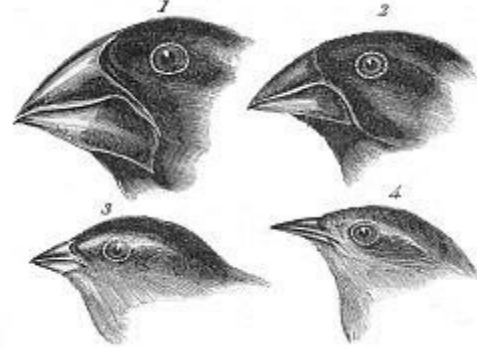
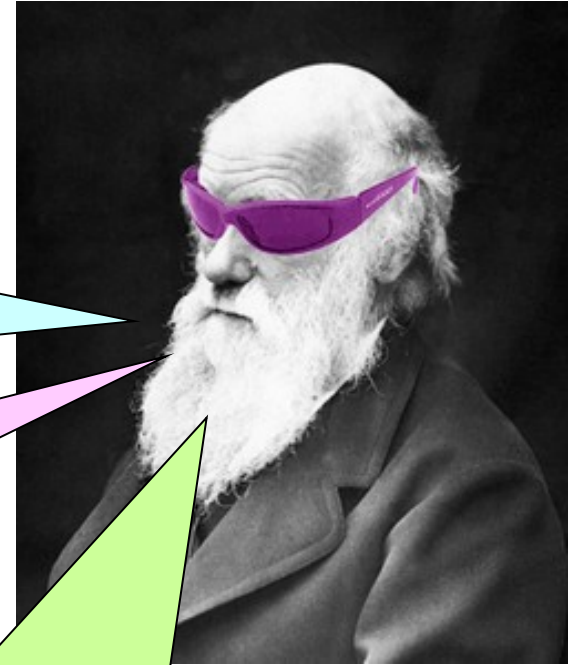


PŘÍRODNÍ VÝBĚR (SELEKCE)



Evoluce přírodním výběrem:



Všechny organismy produkují více potomstva, než kolik může přežít a rozmnožit se.

Mezi jedinci (genotypy) existují geneticky podmíněné rozdíly v přežívání a reprodukci.

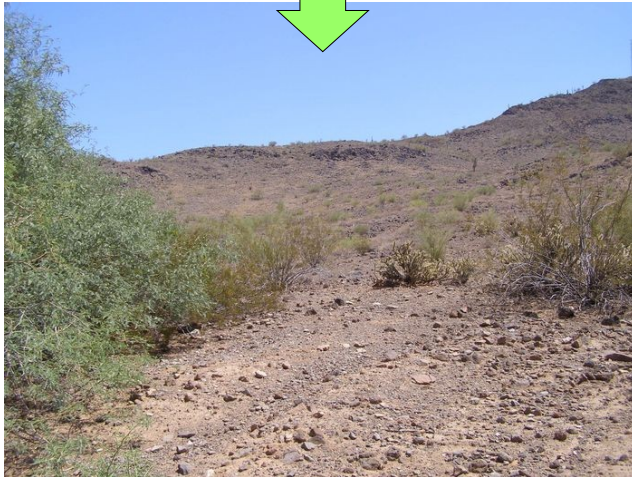
V každé generaci dochází k odlišnému příspěví jednotlivých genotypů do generace následující, tj. nejschopnější genotypy přispívají do genofondu více než genotypy méně schopné.

Pytlouš skalní (*Chaetodipus intermedius*): poušť Sonora a Chihuahua

dd



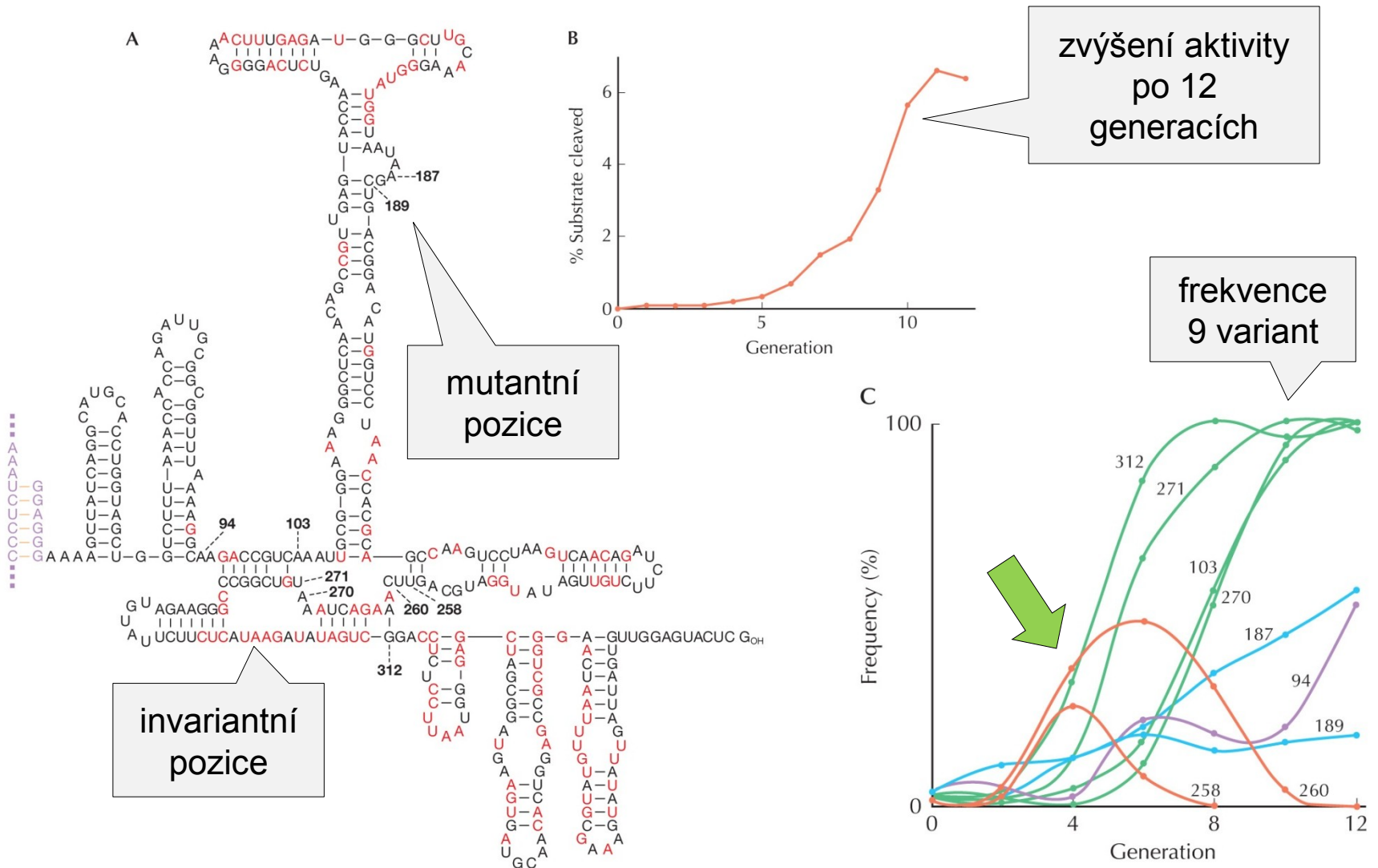
DD, Dd



60-98 % přežívání
ve srovnání
s tmavými

Selekce na úrovni RNA:

intron *Tetrahymena*: Ca⁺ místo Mg⁺ (normální stav)



REPRODUKČNÍ ZDATNOST (FITNESS, w)

= celoživotní průměrný příspěvek jedinců s daným genotypem do populace v průběhu jedné nebo více generací

absolutní počet potomků = **absolutní fitness**

diskrétní generace, stabilní populace → fitness ≈ 1 u asexuálních organismů, ≈ 2 u pohlavně se rozmnožujících; i při mírné odchylce populace spěje buď k extinkci, nebo přemnožení

kontinuální časová škála → míra změny populační velikosti ≈ 0

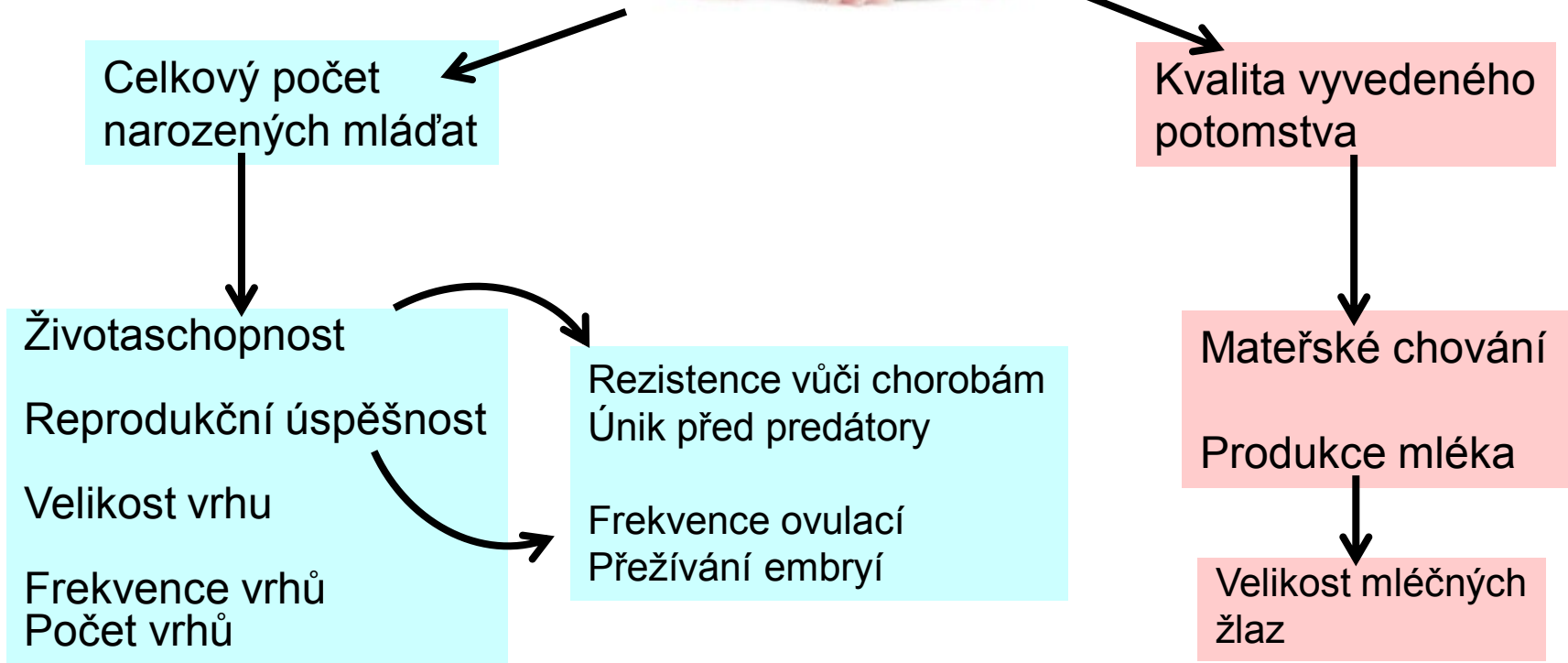
v evoluci důležitější vzájemný vztah genotypů v populaci → **relativní fitness**

diskrétní čas → = poměr absolutních fitness; kontinuální čas → = rozdíl míry růstu

většinou relativní fitness nejzdatnějšího genotypu = 1

alternativně můžeme vztahovat k průměrné fitness populace

Komponenty fitness:



zygotická selekce:

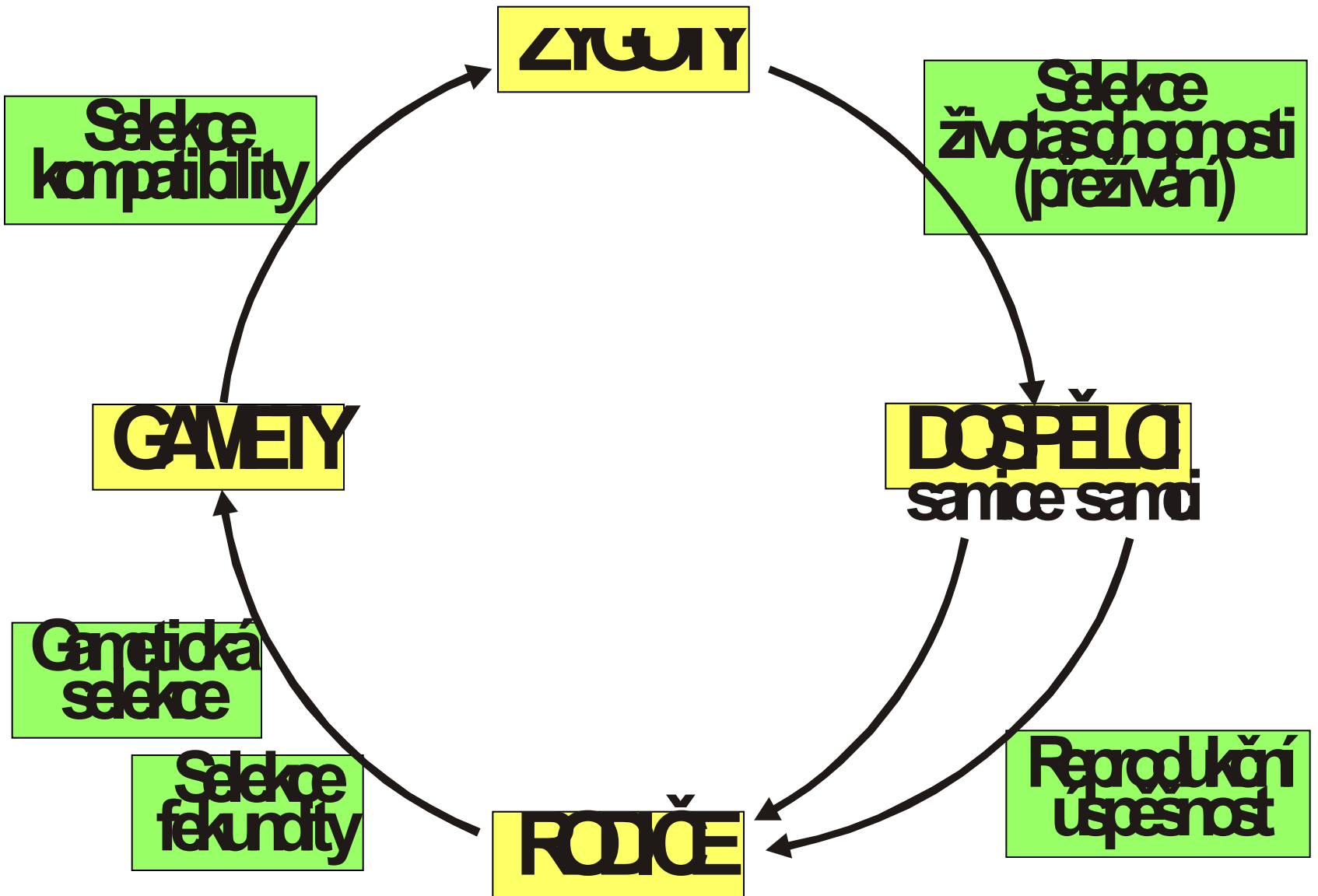
životaschopnost
rozmnožovací úspěšnost
fekundita



gametická selekce:

životaschopnost gamet
fertilizační úspěšnost
zvýhodnění při segregaci





Změna alelových frekvencí a selekční koeficient, s

Fitness při dominanci:

AA	1
Aa	1
aa	1 - s

prům. $s(aa) \approx 0,20$



$w = 0,60-0,98$
 $\Rightarrow s = 0,02-0,40$

změna největší při $p=q=0,5$

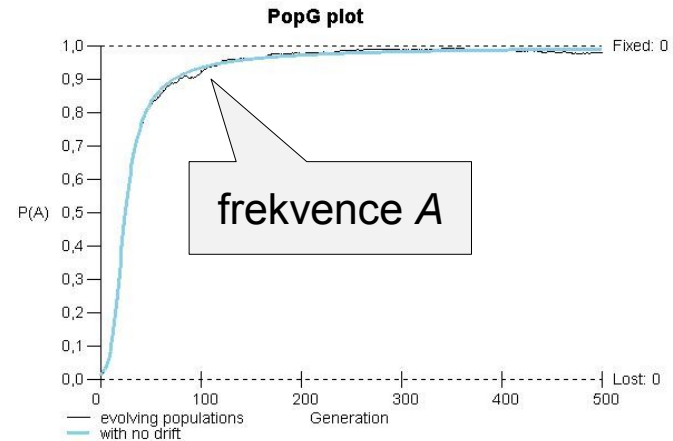
Růst výhodné dominantní alely A:

nepřímo úměrné průměrné fitness populace \Rightarrow s rostoucí frekvencí výhodné alely se evoluce zpomaluje; při q nebo $p = 0$ je $\Delta p = 0$

$\Delta p =$

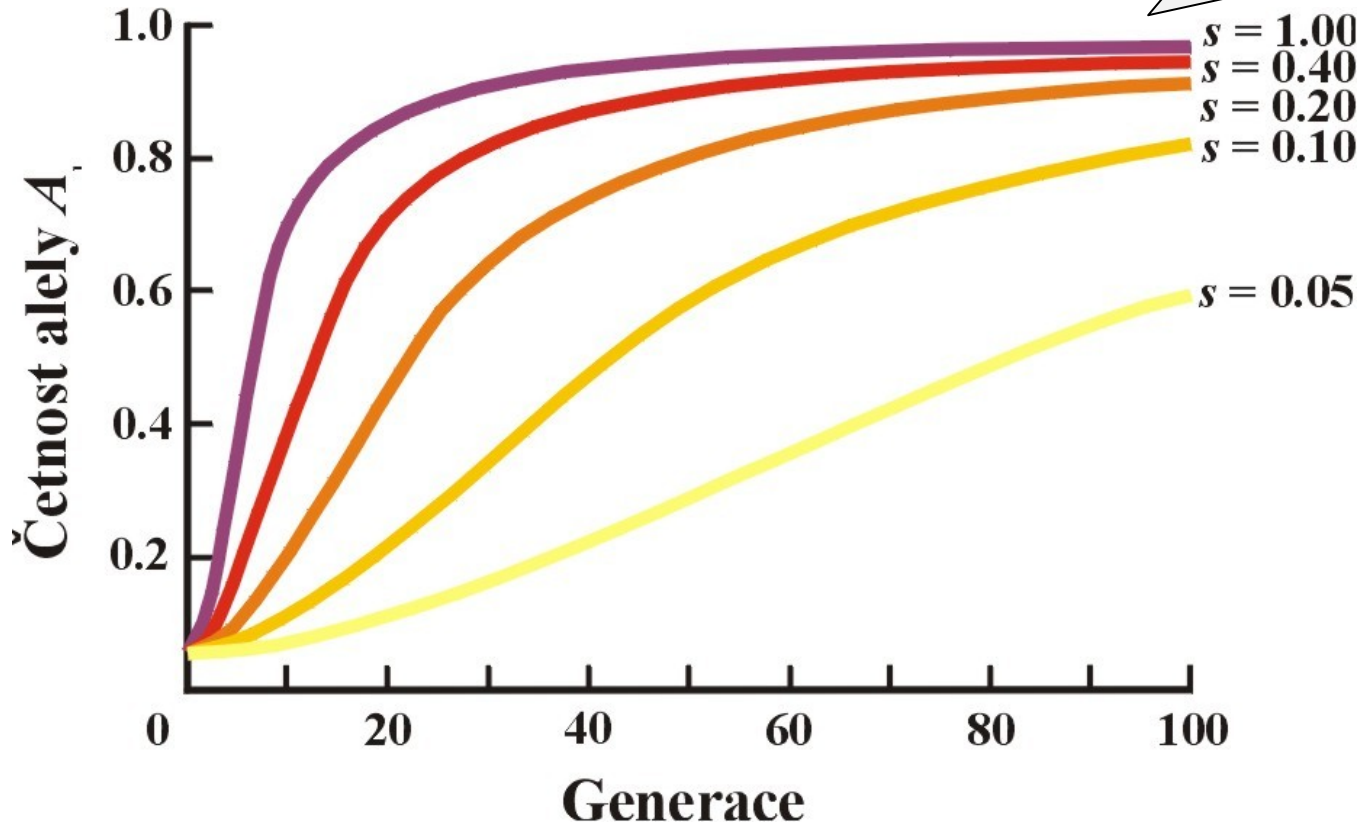
$$= \frac{pqs}{\bar{p}} - \frac{pqs}{\bar{q}}$$

Při $s = 0,20$ a počáteční frekvenci $A = 0,01$ vzroste frekvence na 0,95 za cca. 120 generací

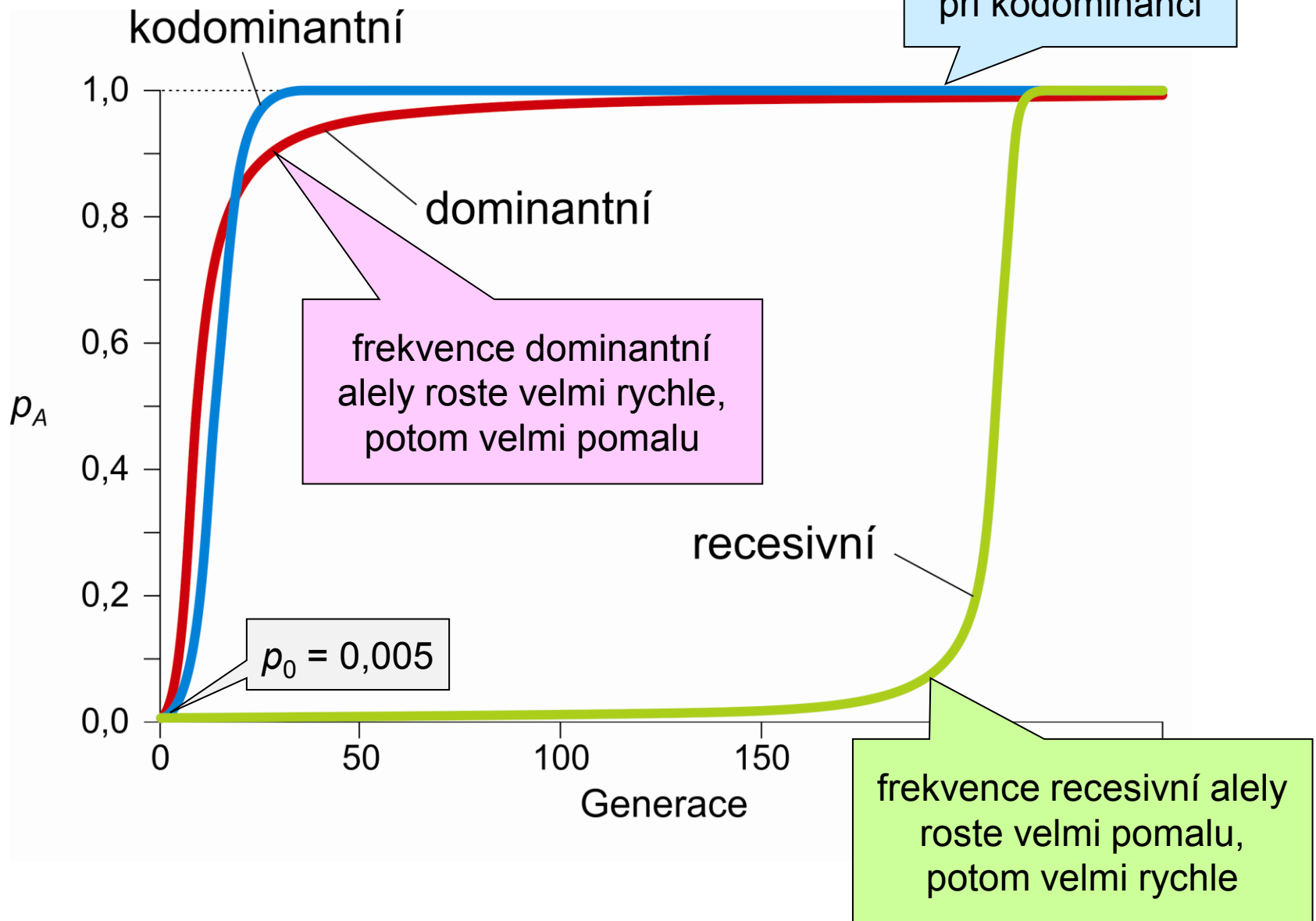


Růst výhodné dominantní alely A :

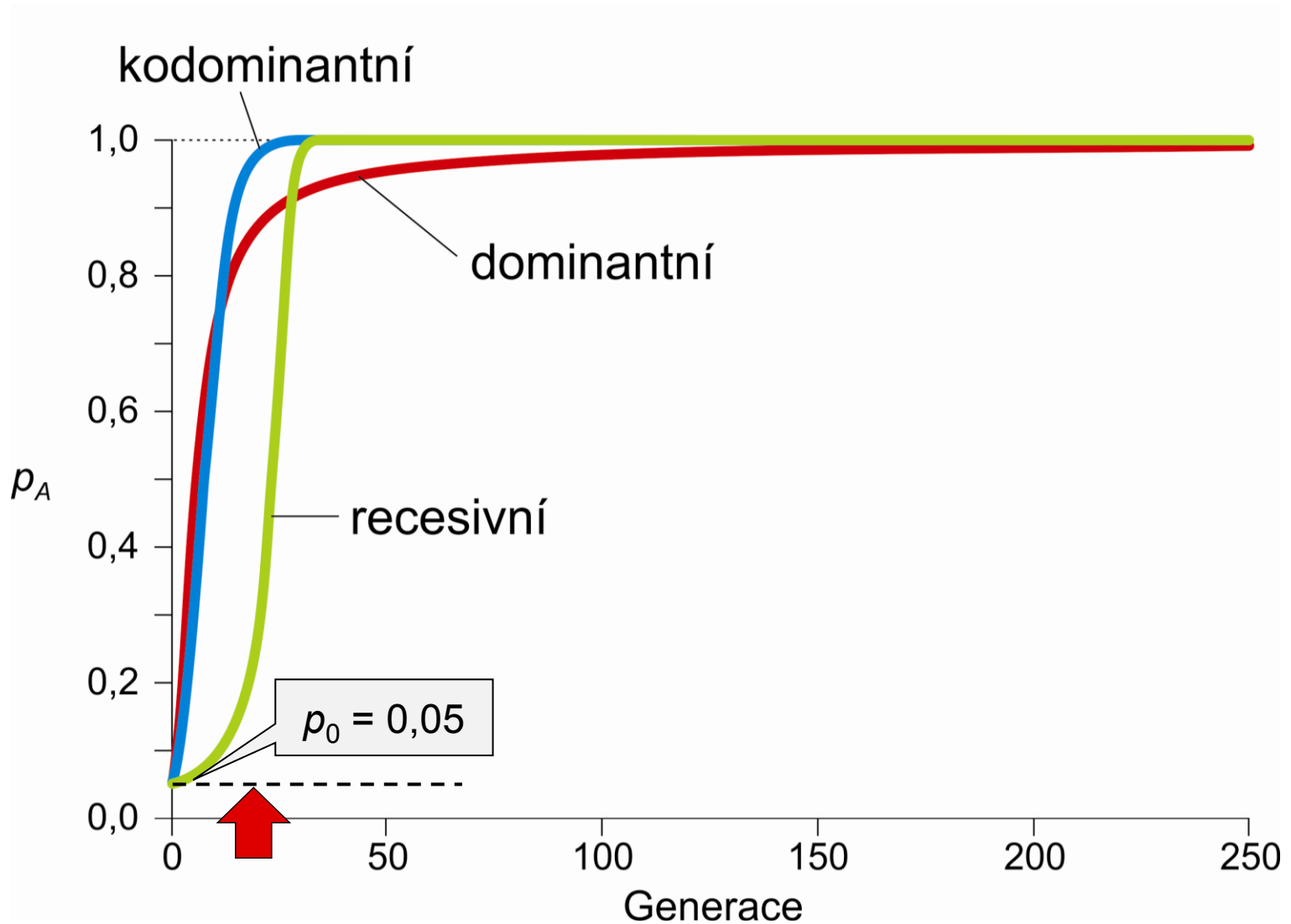
čím je s větší (tj. selekce silnější), tím je změna rychlejší



Selekce a dominance



Vliv počáteční frekvence alely:



STUDIUM PŘÍRODNÍHO VÝBĚRU:

1. korelace alelových četností mezi populacemi

Adh^F u *D. melanogaster*



2. odchylky od očekávaných genotypových frekvencí (HW)

3. změny znaku v čase:

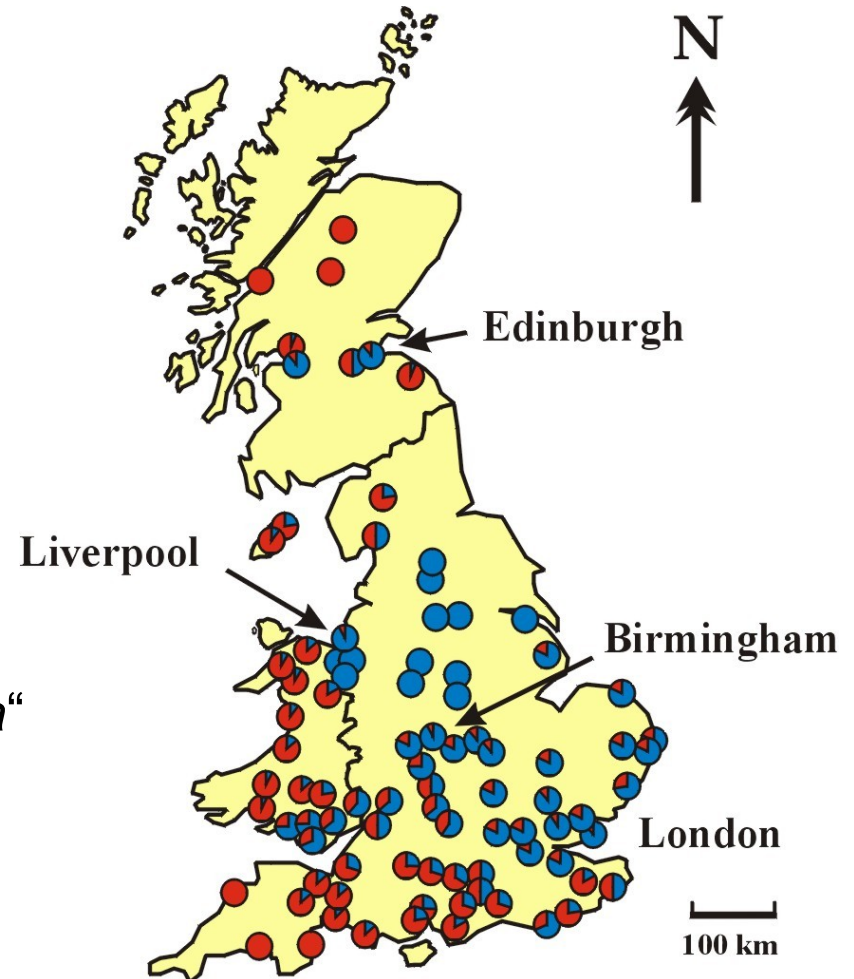


průmyslový melanismus
Biston betularia v Británii



● „typica“

● „carbonaria“



4. experimentální důkazy: H.B.D. Kettlewell



Bernard Kettlewell



Light and dark Peppered moths

Birmingham (znečištěná oblast)

Počet zpětně odchycených:

pozorovaný

18

140

očekávaný

36

122

Relativní míra přežívání

0,5

1,15

Relativní fitness

$0,5/1,15 = 0,43$

$1,15/1,15 = 1$

Deanend Wood (neznečištěná oblast)

Počet zpětně odchycených:

pozorovaný

67

32

očekávaný

53

46

Relativní míra přežívání

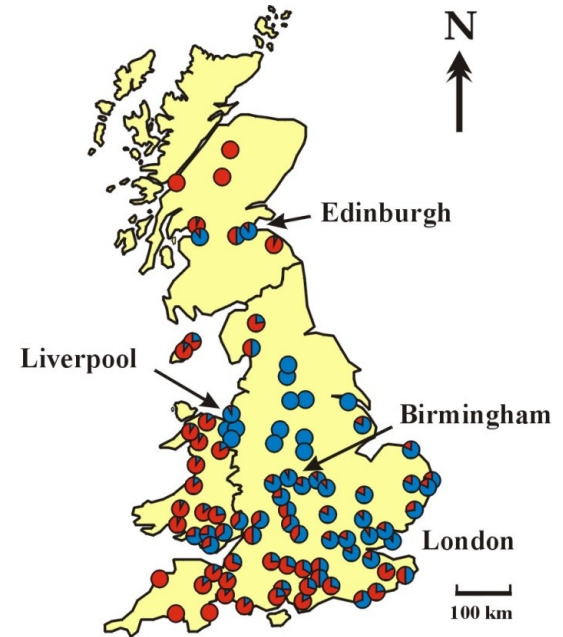
1,26

0,69

Relativní fitness

$1,26/1,26 = 1$

$0,69/1,26 = 0,55$



Problémy:

průmyslový melanismus
B. betularia v Británii

na melanickém zbarvení se podílejí 3 alely, ne jedna

zvýšení frekvence melanických forem ve znečištěných oblastech i u druhů neohrožených predací hmyzožravých ptáků (holubi, kočky, někt. brouci)

v některých oblastech slabá korelace mezi melanismem a imisemi

chyby v experimentu:

drsnokřídlec přes den na horizontálních větvích, ne na kmeni (jiné druhy lišejníků)

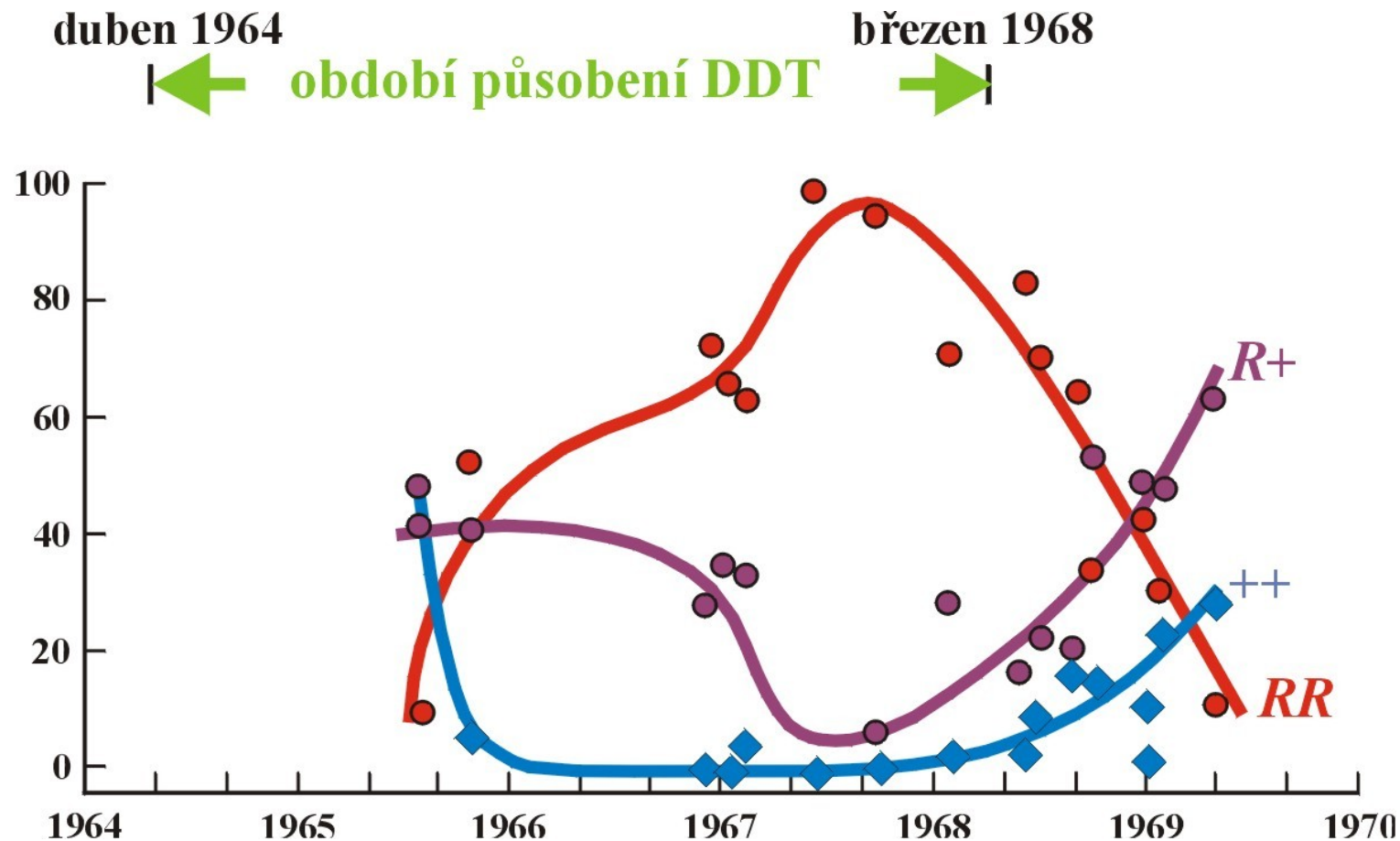
u motýlů i ptáků percepce UV záření (v UV strupovité lišejníky na horizontálních větvích tmavé stejně jako *carbonaria*)

v laboratorních podmínkách životaschopnost *typica* o 30 % nižší než u *carbonaria*

lepší absorpce slunečního záření u melanické formy?
(slunéčko dvoutečné)

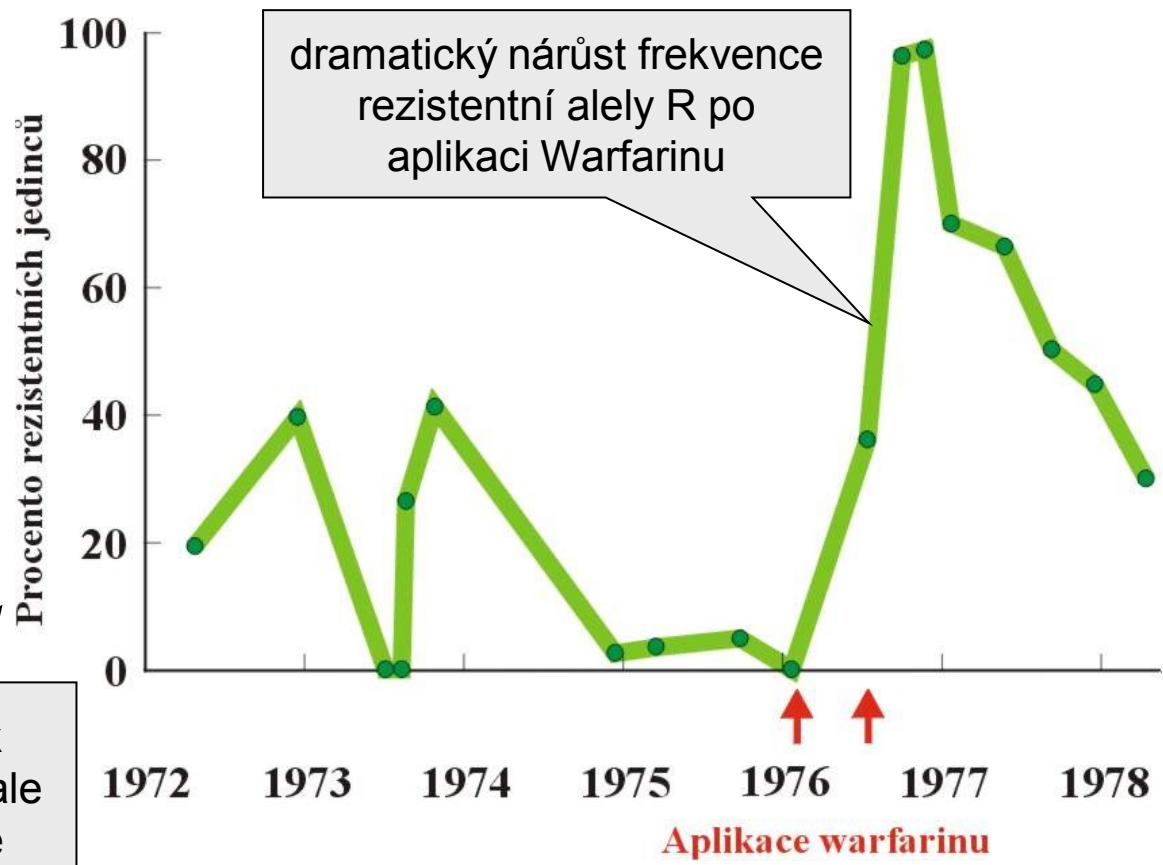
5. vznik rezistence

Př.: rezistence vůči DDT u komárů (*Aedes*):



Př.: rezistence vůči Warfarinu u potkanů:

Warfarin = krevní antikoagulant, inhibující enzym odpovědný za regeneraci vitamínu K (kofaktor krevního srážení)

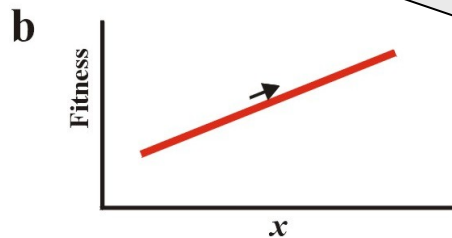
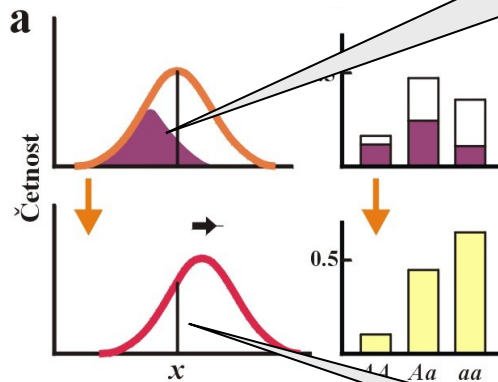


alela R je vzhledem k rezistenci *dominantní*, ale vzhledem ke zvýšené potřebě vit. K *recesivní*

Vztah fenotypu a fitness: základní selekční režimy

usměrňující

tyto fenotypy jsou
odstraňovány selekcí

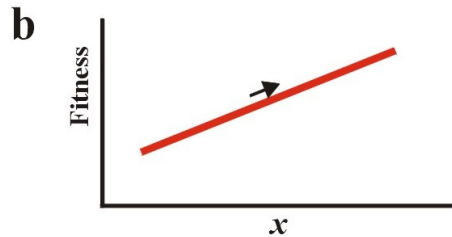
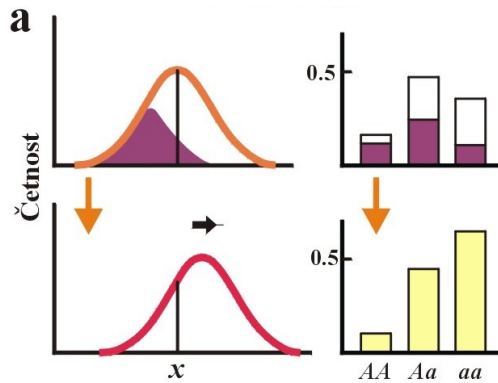


původní průměr

konzistentní změna
prostředí
posun průměru
stejný rozptyl

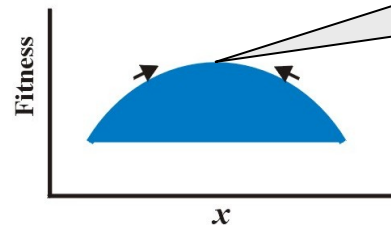
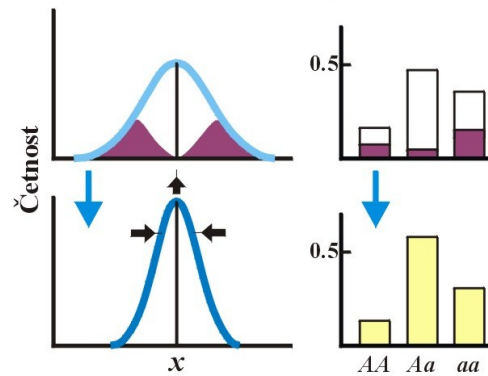
Vztah fenotypu a fitness: základní selekční režimy

usměrňující



konzistentní změna
prostředí
posun průměru
stejný rozptyl

stabilizující



stabilní prostředí
průměr stejný
menší rozptyl

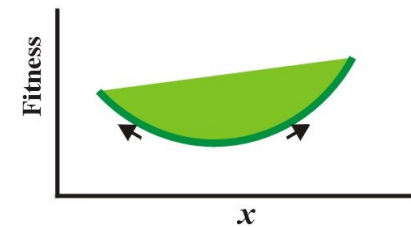
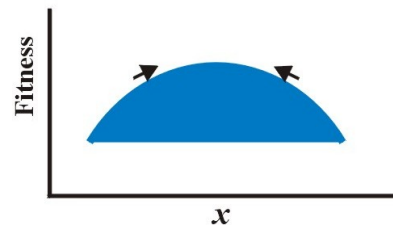
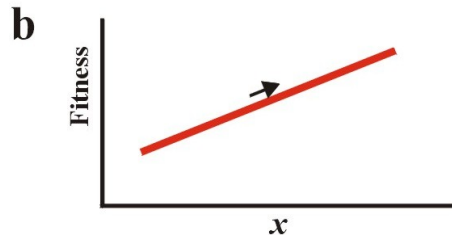
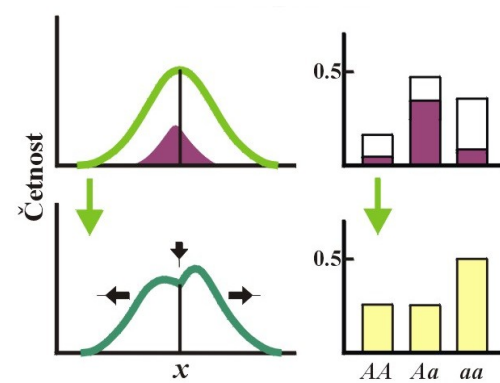
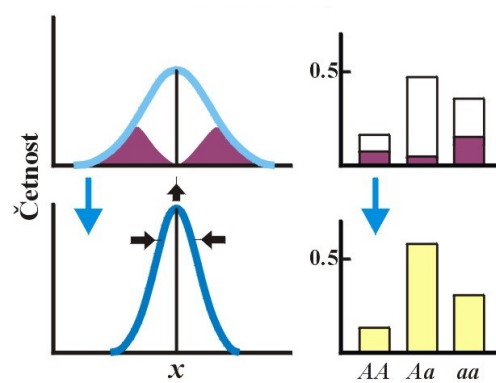
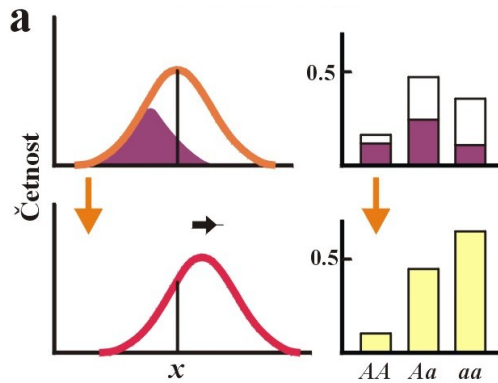
nejvyšší fitness
mají jedinci s
průměrným
fenotypem

Vztah fenotypu a fitness: základní selekční režimy

usměrňující

stabilizující

disruptivní

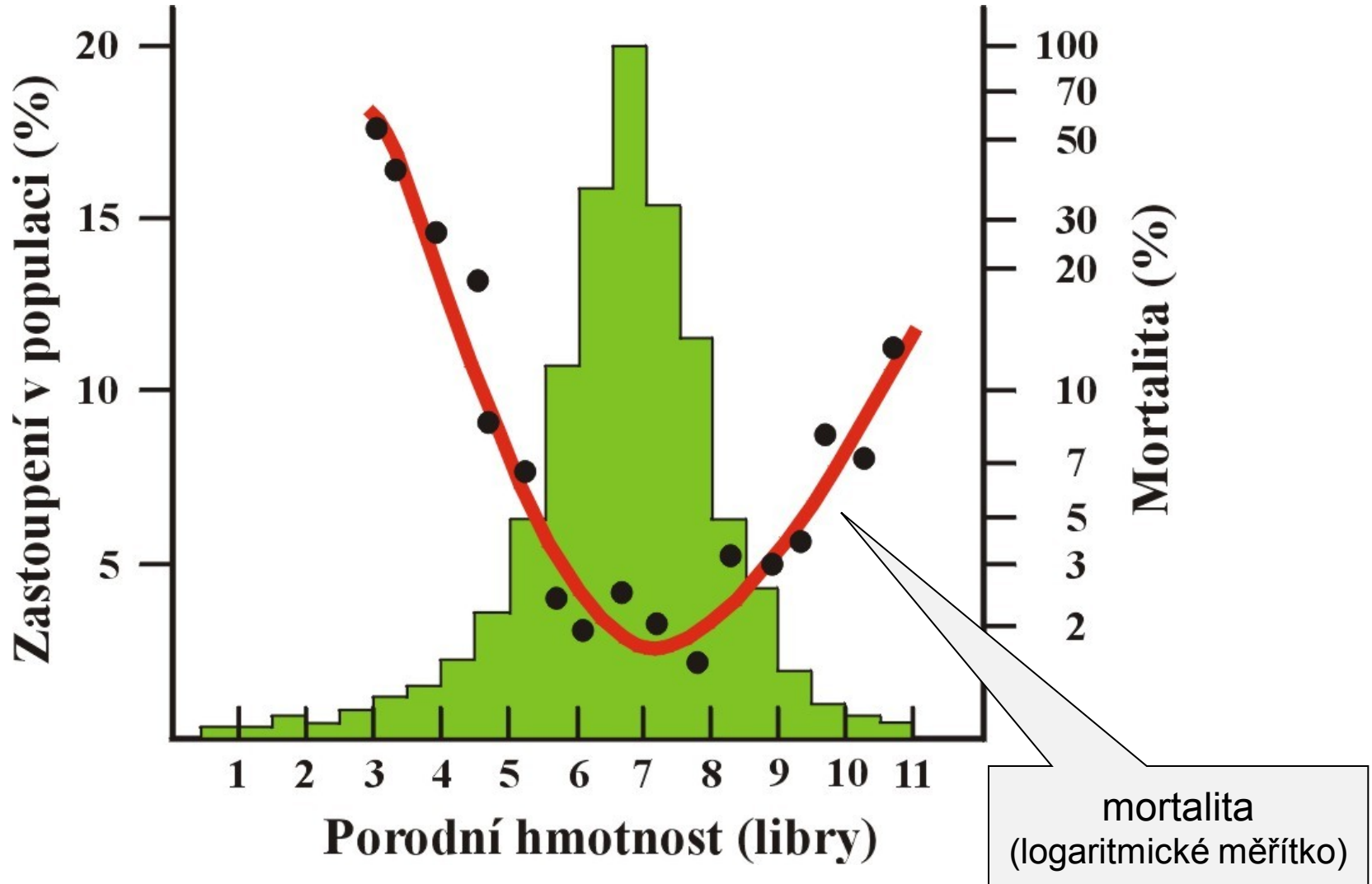


konzistentní změna
prostředí
posun průměru
stejný rozptyl

stabilní prostředí
průměr stejný
menší rozptyl

heterogenní prostředí
potlačení průměru
větší rozptyl

stabilizující selekce - porodní hmotnost u člověka



Rovnováha selekce a mutace

opakovaný vznik škodlivé alely × její eliminace selekcí



dominance:

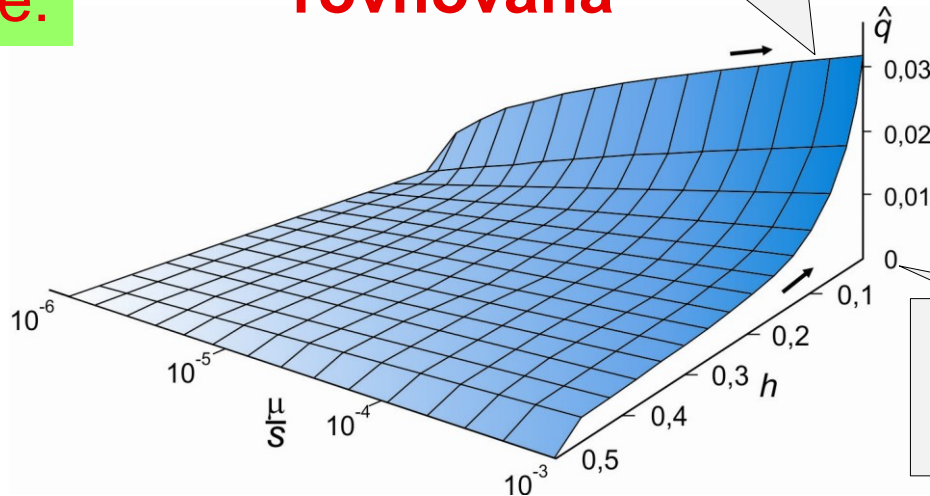
$$q = \frac{\mu}{s}$$

rovnováha

slabší selekce \Rightarrow
frekvence vyšší

recesivita:

$$q = \sqrt{\frac{\mu}{s}}$$



Mullerův-Haldaneův princip:

Bez ohledu na dominanci/recesivitu škodlivé mutace je její vliv na snížení fitness populace nezávislý na tom, do jaké míry je škodlivá.

Rovnováha selekce a migrace

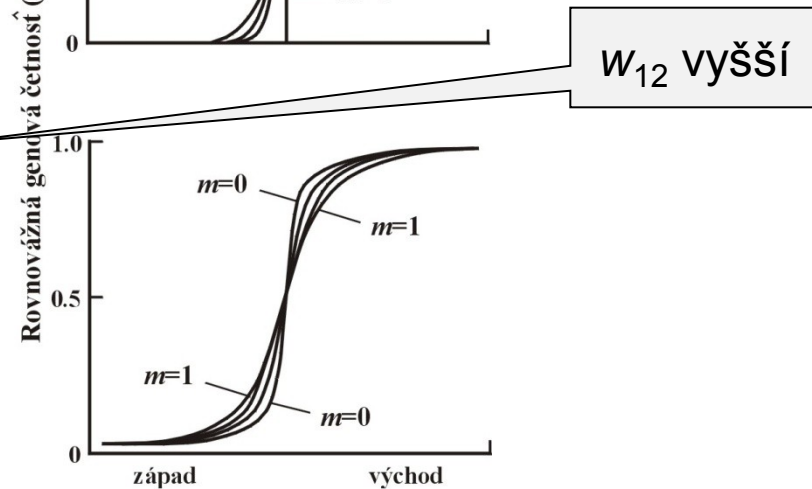
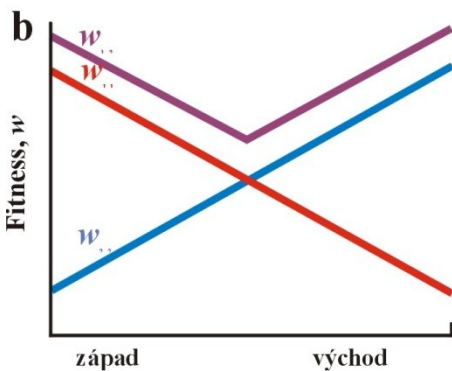
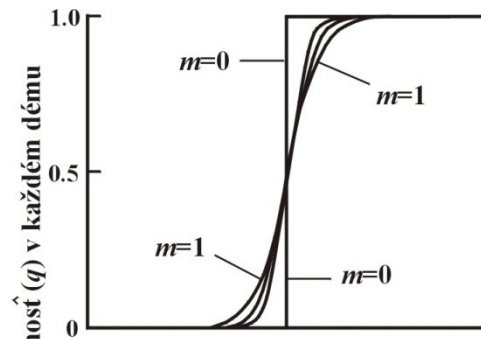
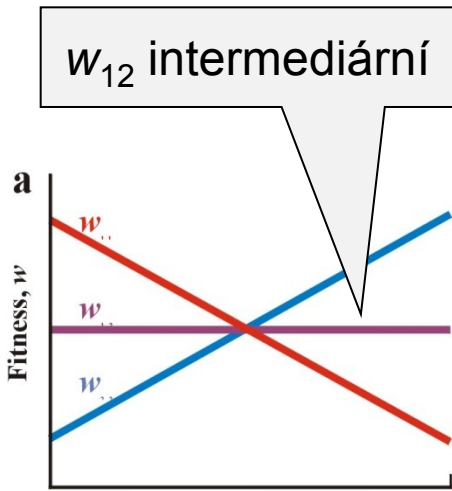
opakovaný „vtok“ škodlivé alely × její eliminace selekcí



rovnováha



1. $m > s \Rightarrow$ fixace alely
2. $m < s \Rightarrow$ eliminace alely
3. $m = s \Rightarrow$ polymorfismus



divergence mezi děmy

Balancující selekce

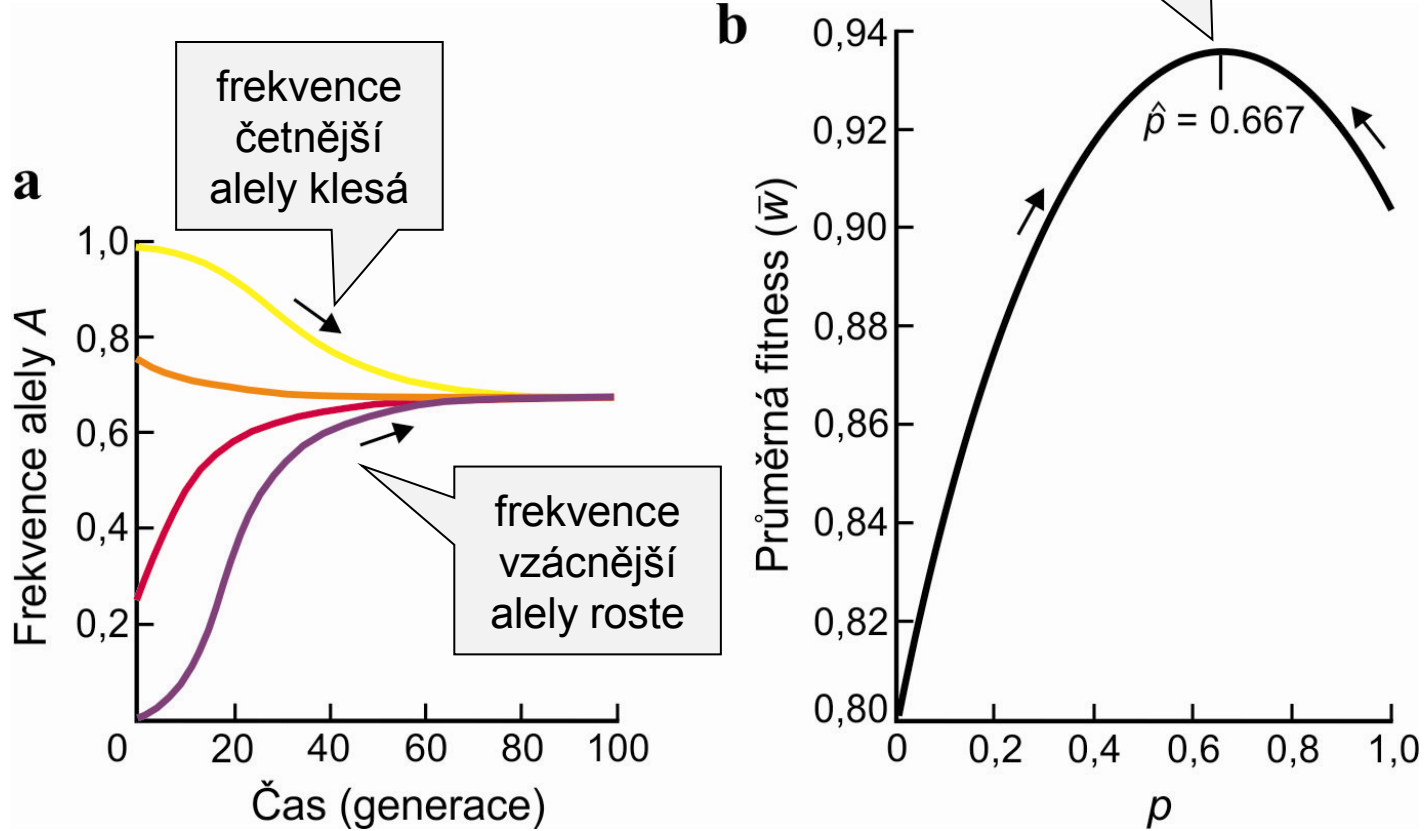
1. Selektivní výhoda heterozygotů = superdominance (overdominance)

$$W_{11} < W_{12} > W_{22}$$

fitness heterozygotů
je vyšší než w
homozygotů

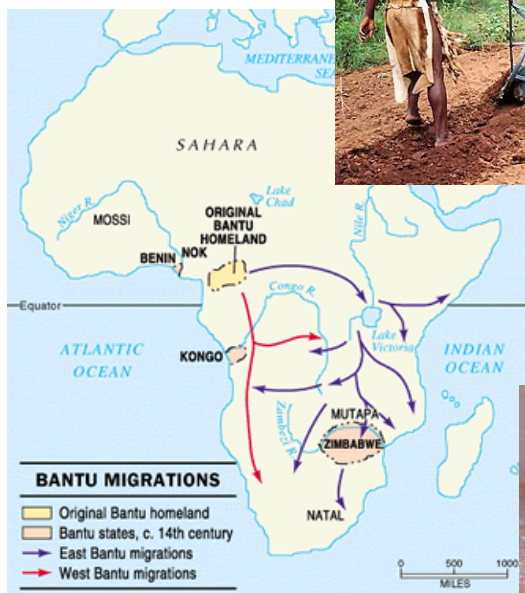


$$W_{11} < W_{12} > W_{22}$$



Selekce udržuje **rovnovážný polymorfismus**

Př.: srpkovitá anémie a malárie



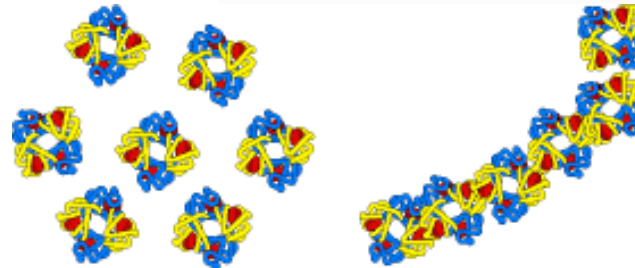
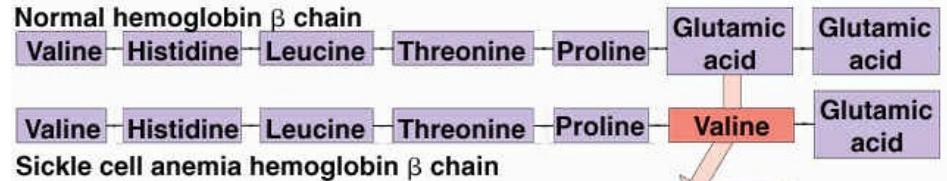
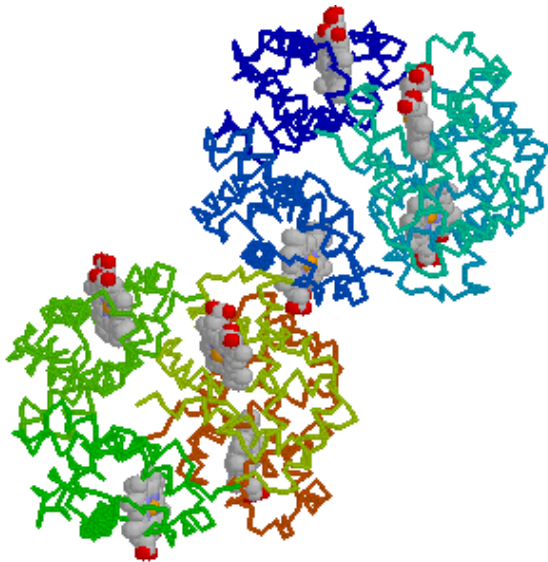
před ~ 2000 lety expanze skupiny bantu

vypalování savan a pralesů, růst populační hustoty → vhodné podmínky pro komáry *Anopheles* (*A. gambiae*, případně *Aedes*, *Culex*), hostitele zimničky tropické (*Plasmodium falciparum*)

⇒ **malárie**

Srpkovitá anémie a malárie:

srpkovitá anémie: alela S: substituce 1 AA na 6. pozici v 6. kodonu genu β -Hb:



NORMAL HEMOGLOBIN

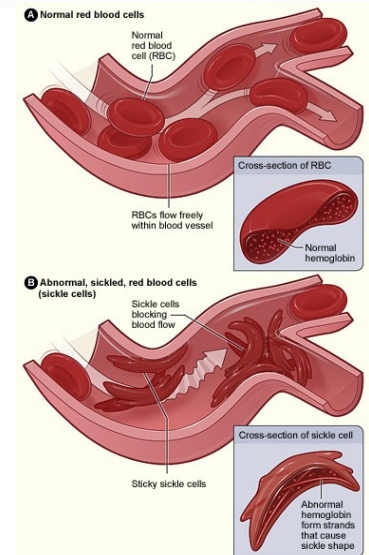
CLUMPED HEMOGLOBIN



při nízkých koncentracích O_2 \rightarrow tvorba podlouhlých krystalů

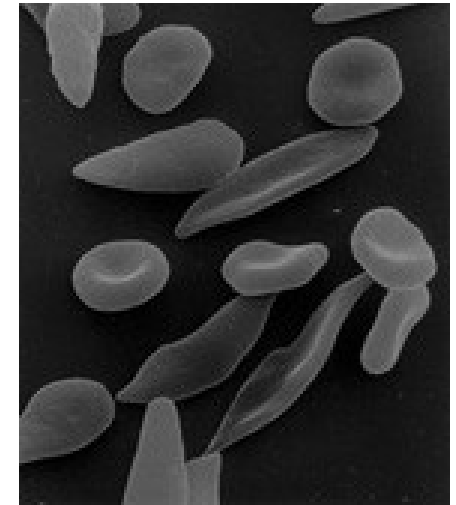
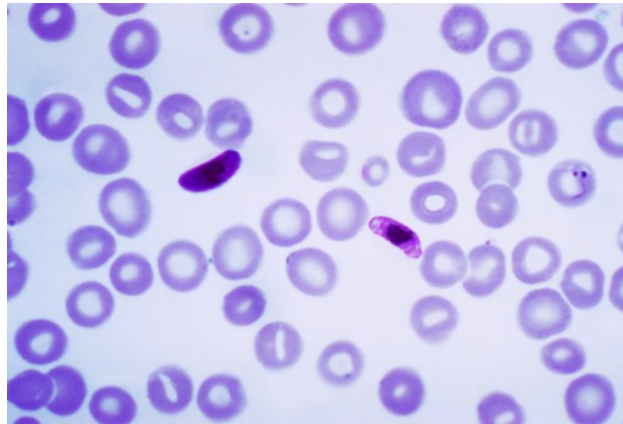
\Rightarrow **chudokrevnost** (anémie)

AS – pouze přenos anémie, SS – silná anémie



srpkovitý erythrocyt napadený zimničkou rychle praská \Rightarrow *Plasmodium* se nemůže pomnožit \Rightarrow **rezistence**

\rightarrow **výhoda heterozygotů**



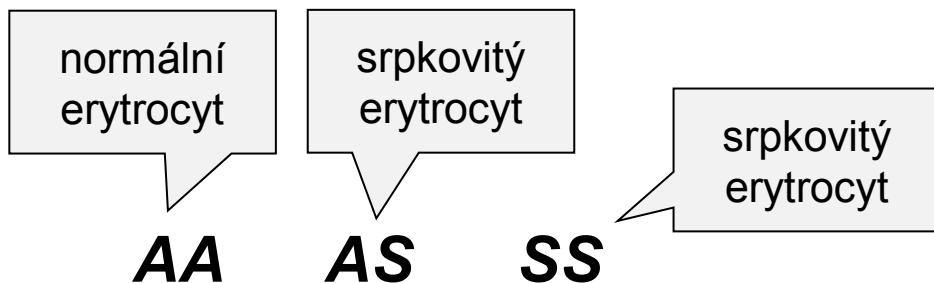
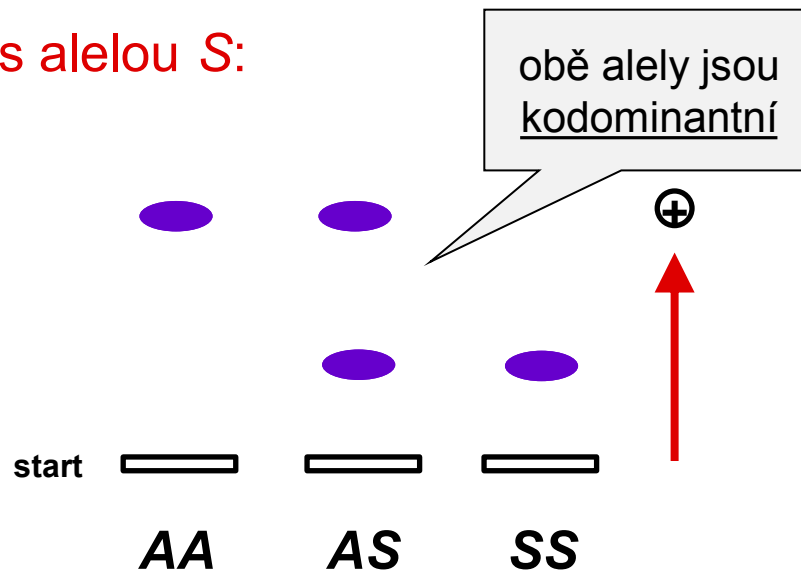
Relativní fitness genotypů spojených se srpkovitou anémií:

Table 11.1. Phenotypic Attributes and Relative Fitnesses (Viabilities) of Six Genotypes Formed by A, S, and C Alleles at β -Hb Locus in Humans in Wet, Tropical Africa

Genotype	Phenotypic Attributes	Fitness in Nonmalarial Environment	Fitness in Malarial Environment
AA	Malarial susceptibility	1.00	0.89
SS	Hemolytic anemia	0.20	0.20

Fenotypy spojené s alelou S:

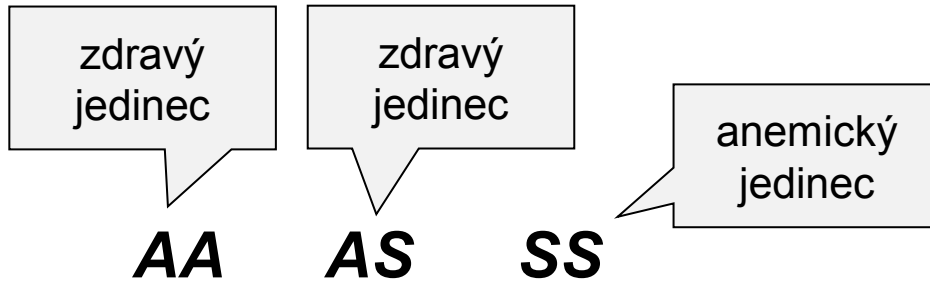
1. Pohyblivost v elektrickém poli



2. Srpkovitost

srpkovitost u SS i AS jedinců \Rightarrow z hlediska deformace je S dominantní

Fenotypy spojené s alelou S:



3. Anémie

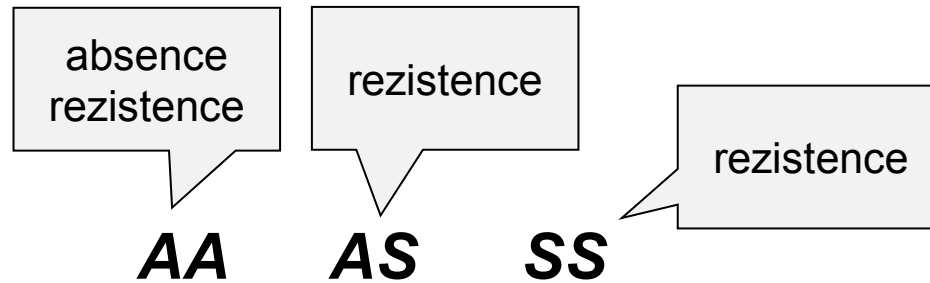
u jedinců SS řetězce delší \Rightarrow větší deformace krvinek \Rightarrow fatálnější dopady na organismus: rozpad krvinek (anémie), ucpávání cév atd.

klinický syndrom jen u SS \Rightarrow alela S vůči A recesivní

Fenotypy spojené s alelou S:

4. Rezistence vůči malárii

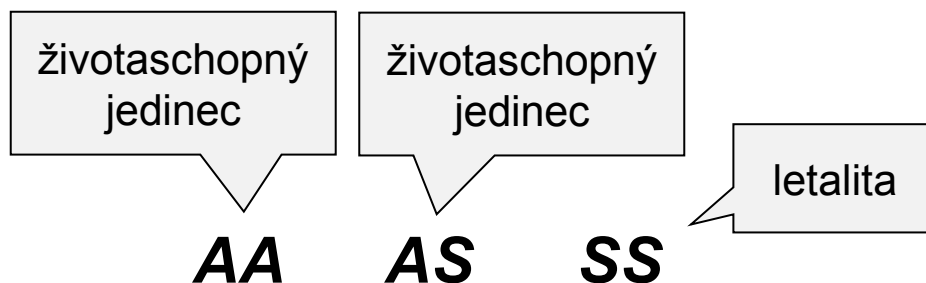
z hlediska rezistence alela S dominantní



Fenotypy spojené s alelou S:

5. Životaschopnost

nemalarické prostředí: S recesivní



malarické prostředí: SS – silná anémie; AA – malárie; AS – žádná anémie, slabá malárie ⇒ alela S je superdominantní

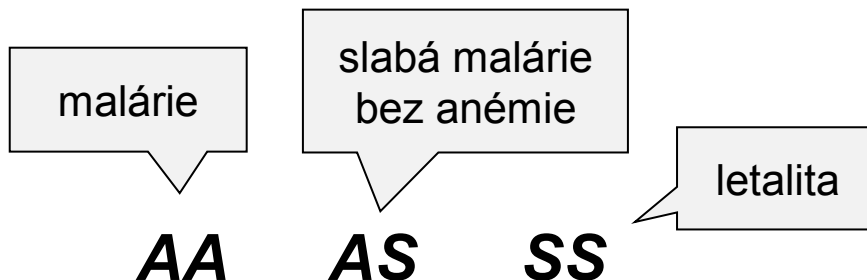


Table 11.1. Phenotypic Attributes and Relative Fitnesses (Viabilities) of Six Genotypes Formed by A, S, and C Alleles at β -Hb Locus in Humans in Wet, Tropical Africa

Genotype	Phenotypic Attributes	Fitness in Nonmalarial Environment	Fitness in Malarial Environment
AA	Malarial susceptibility	1.00	0.89
AS	Malarial resistance	1.00	1.00
SS	Hemolytic anemia	0.20	0.20

Note: The fitness of the AS heterozygote is set to 1. The malarial fitnesses are estimated from data given in Cavalli-Sforza and Bodmer (1971).

Vznik alely C v prostředí polymorfismu AS:

možné genotypy: $w_{AC} = 0,89$; $w_{SC} = 0,70$

$w_{AS} = 1,00 \Rightarrow$ selekce působí proti prospěšné alele!

Přestože alela C vysoce prospěšná, selekce bude její frekvenci snižovat až do její úplné eliminace!!

Rezistence proti malárii může být zprostředkována jinými mechanismy:

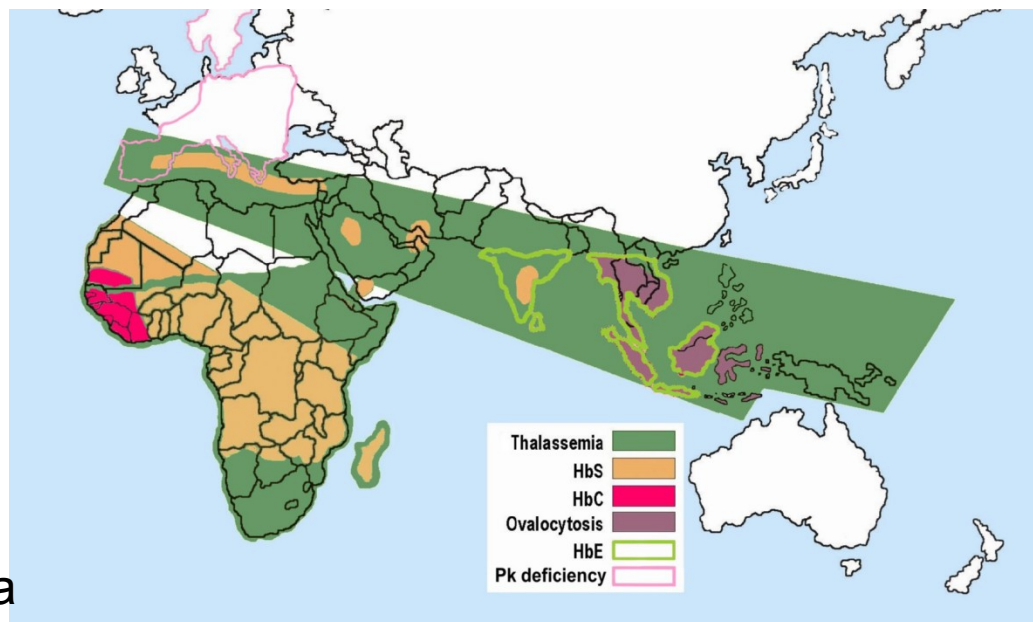
hemoglobin E (JV Asie)

α - a β -talasémie

G6PD^{*)} deficiencie

Pk^{**)} deficiencie

etc. etc.



^{*)} glukózo-6-fosfát dehydrogenáza

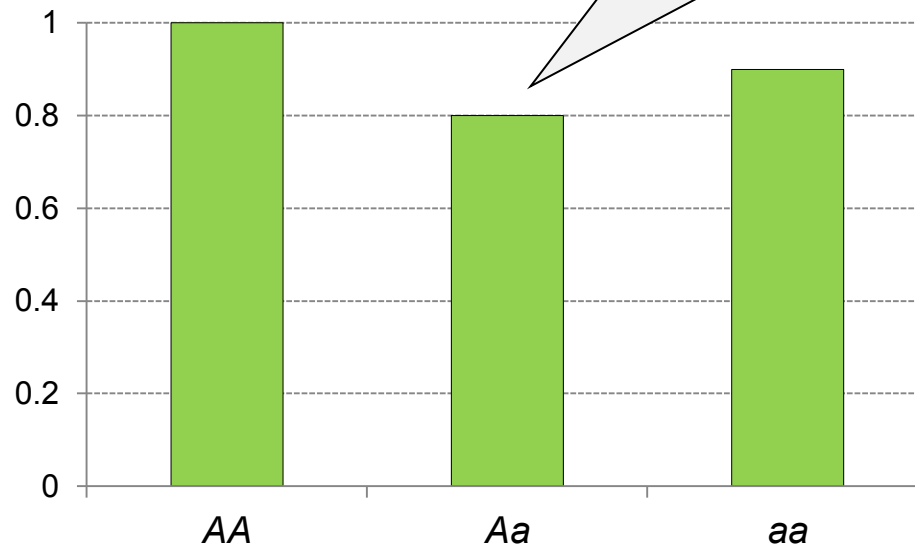
^{**)} pyruvát kináza

Selekce proti heterozygotům je však v přírodě málo rozšířená

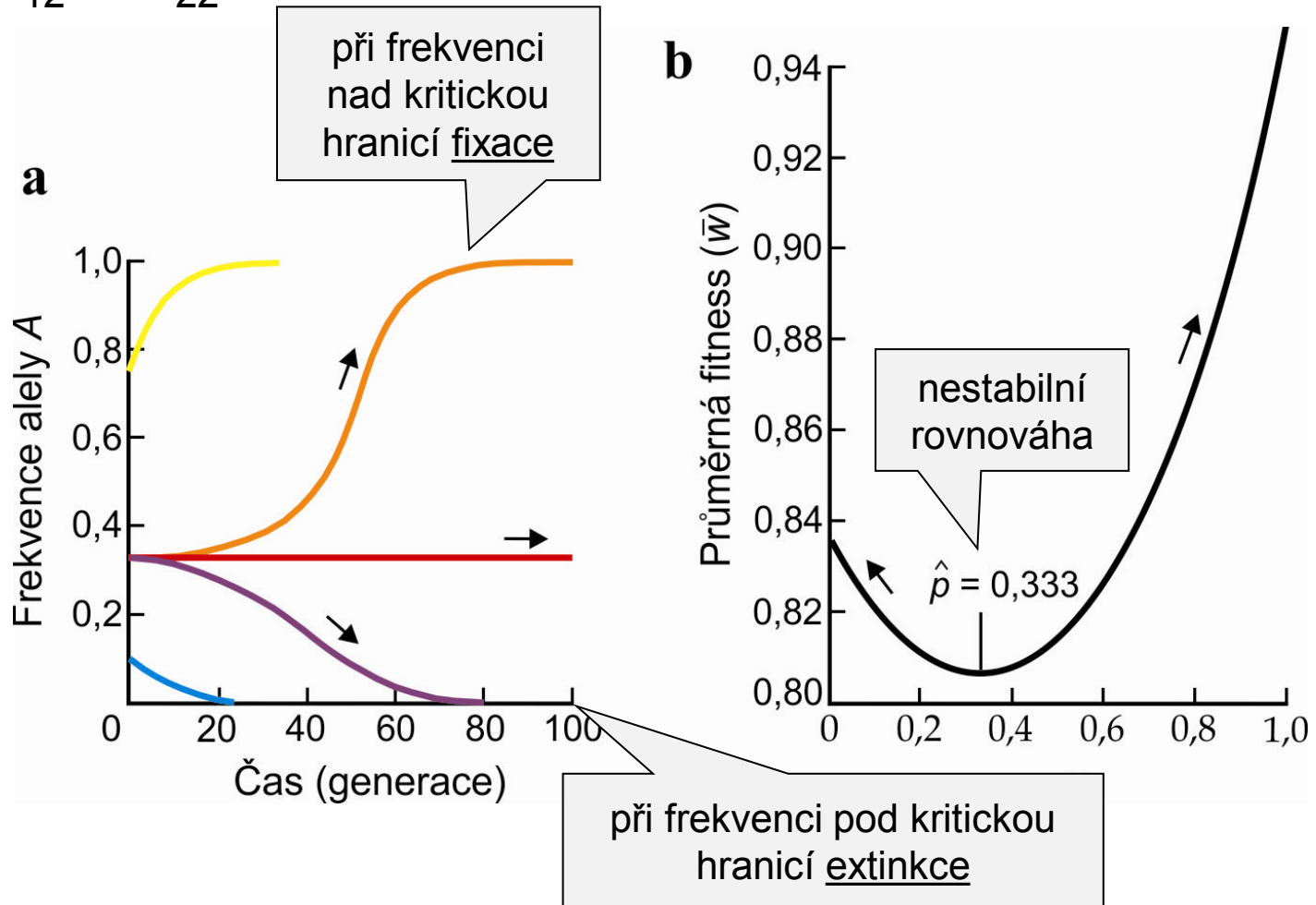
Alternativní rovnováha: selekce proti heterozygotům (*underdominance*)

$$W_{11} > W_{12} < W_{22}$$

fitness heterozygotů
je nižší než w
homozygotů



$$W_{11} > W_{12} < W_{22}$$



Selekce vede k fixaci jedné z alel (a extinkci druhé)

2. Selekcce v proměnlivém prostředí

variabilita prostředí:

v prostoru

v čase

v hrubém měřítku: během života jedno prostředí

v jemném měřítku: během života více prostředí

selekcce: měkká
tvrdá

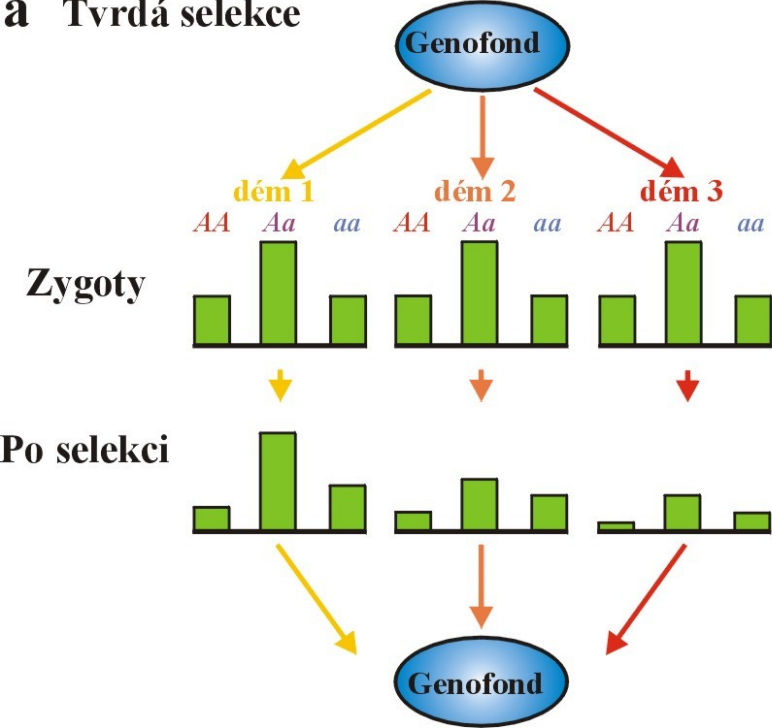
selekce

tvrdá

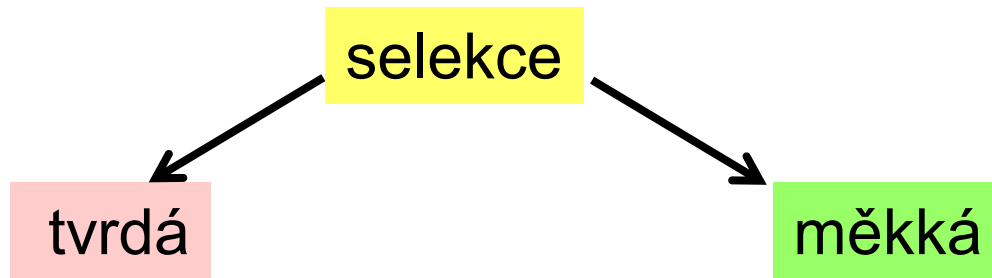
Silene vulgaris
ssp. *humilis*



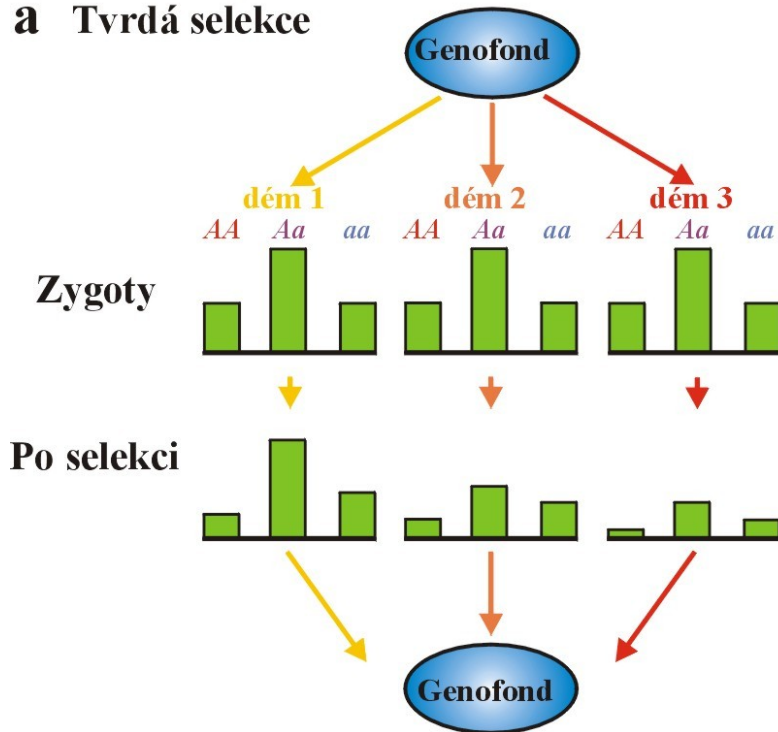
a Tvrdá selekce



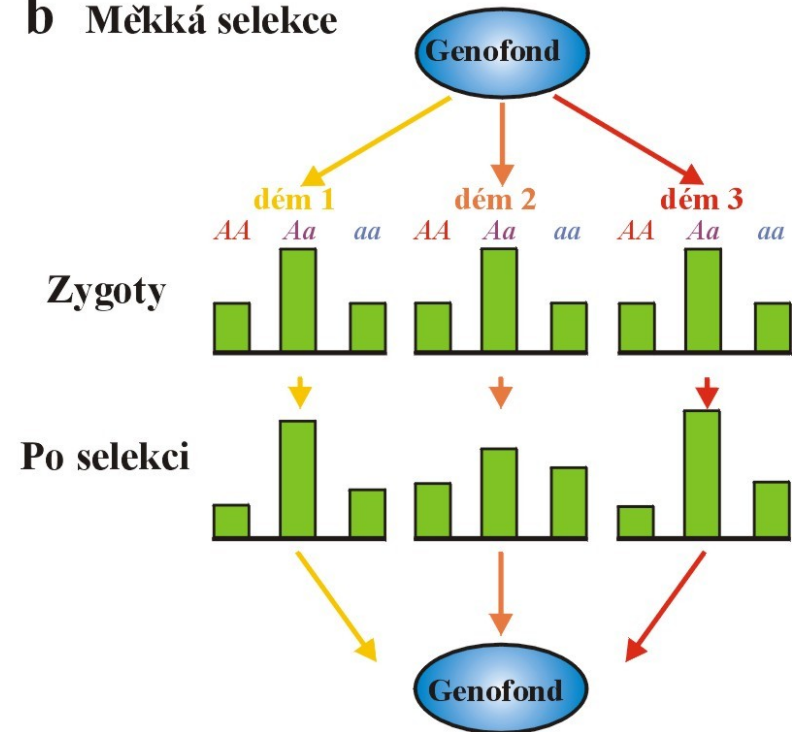
Minuartia
verna



a Tvrdá selekce



b Měkká selekce



prostředí proměnlivé **v hrubém měřítku** a **měkká selekce** budou v populaci udržovat polymorfismus **s vyšší pravděpodobností** než proměnlivost v jemném měřítku a tvrdá selekce

3. Antagonistická selekce

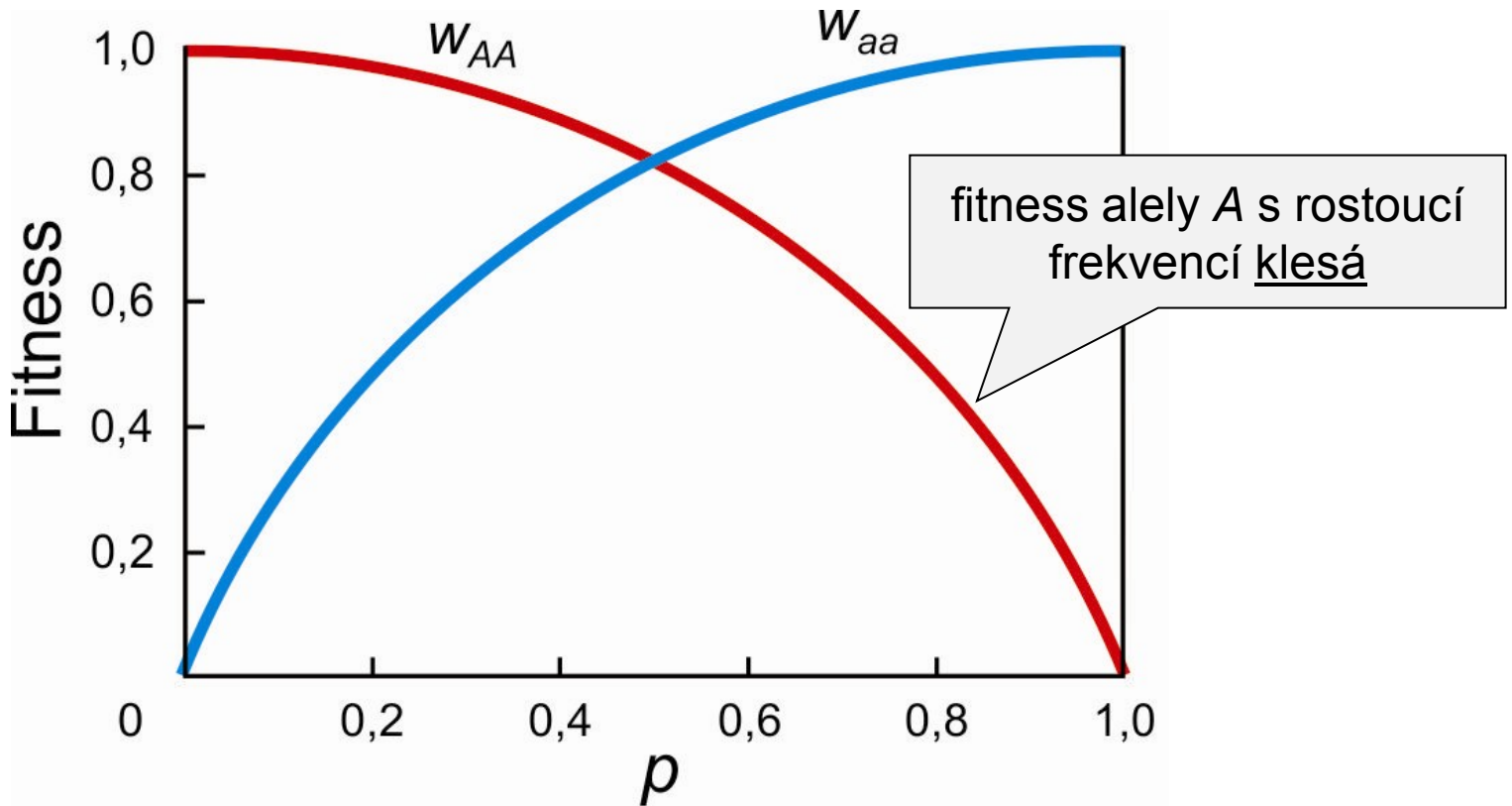
různá pohlaví

různá vývojová stadia

gametická × zygotická fáze

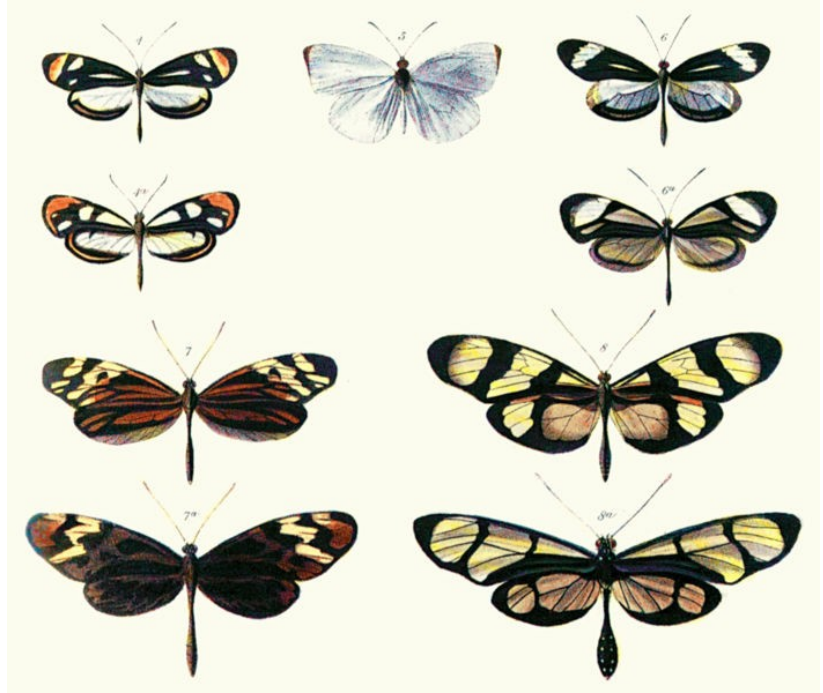
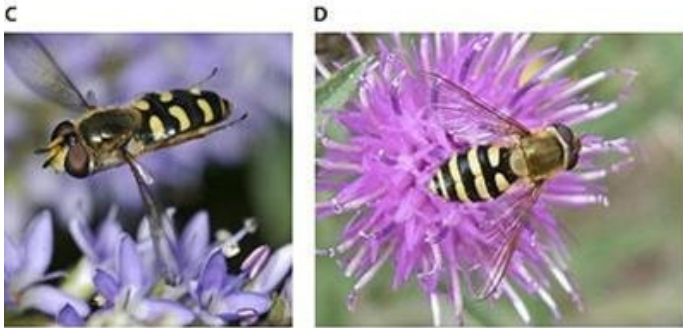
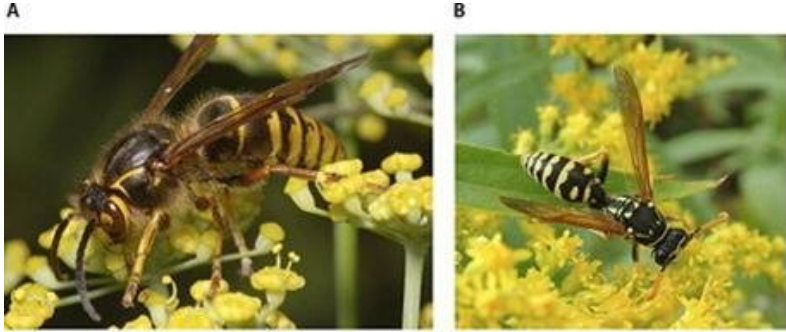
4. Selekcce závislá na frekvenci

I. Negativní frekvenčně-závislá selekcce

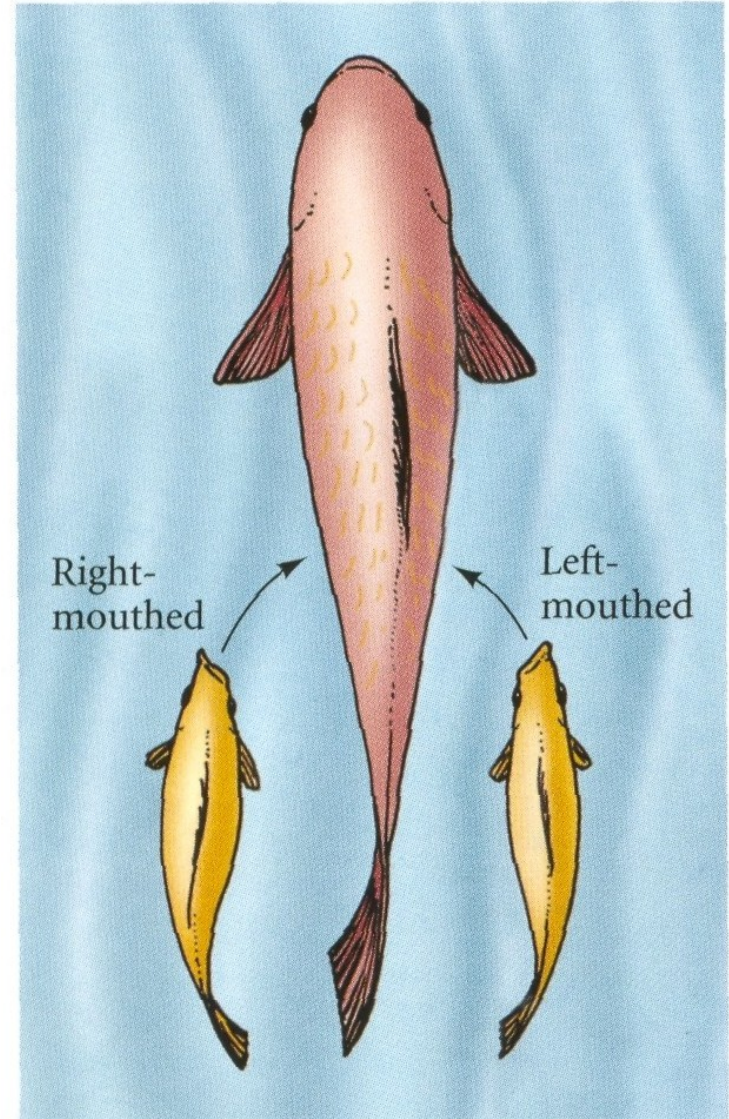


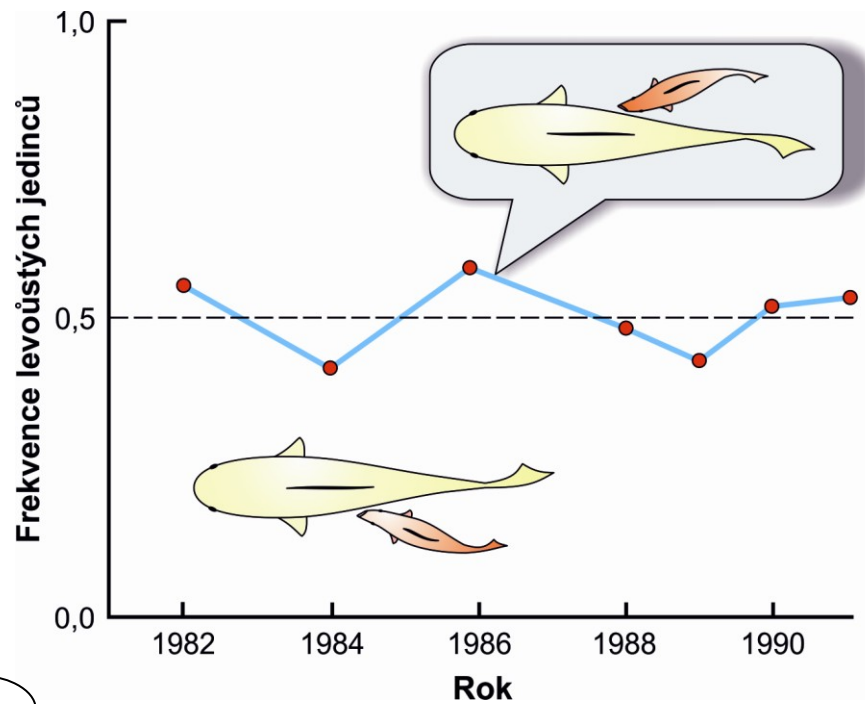
Př.: batesovské mimikry

[v tomto případě jde spíše o selekci závislou *na hustotě* (*density-dependent selection*)]



Př.: cichlida *Perissodus microlepis* (Tanganika)





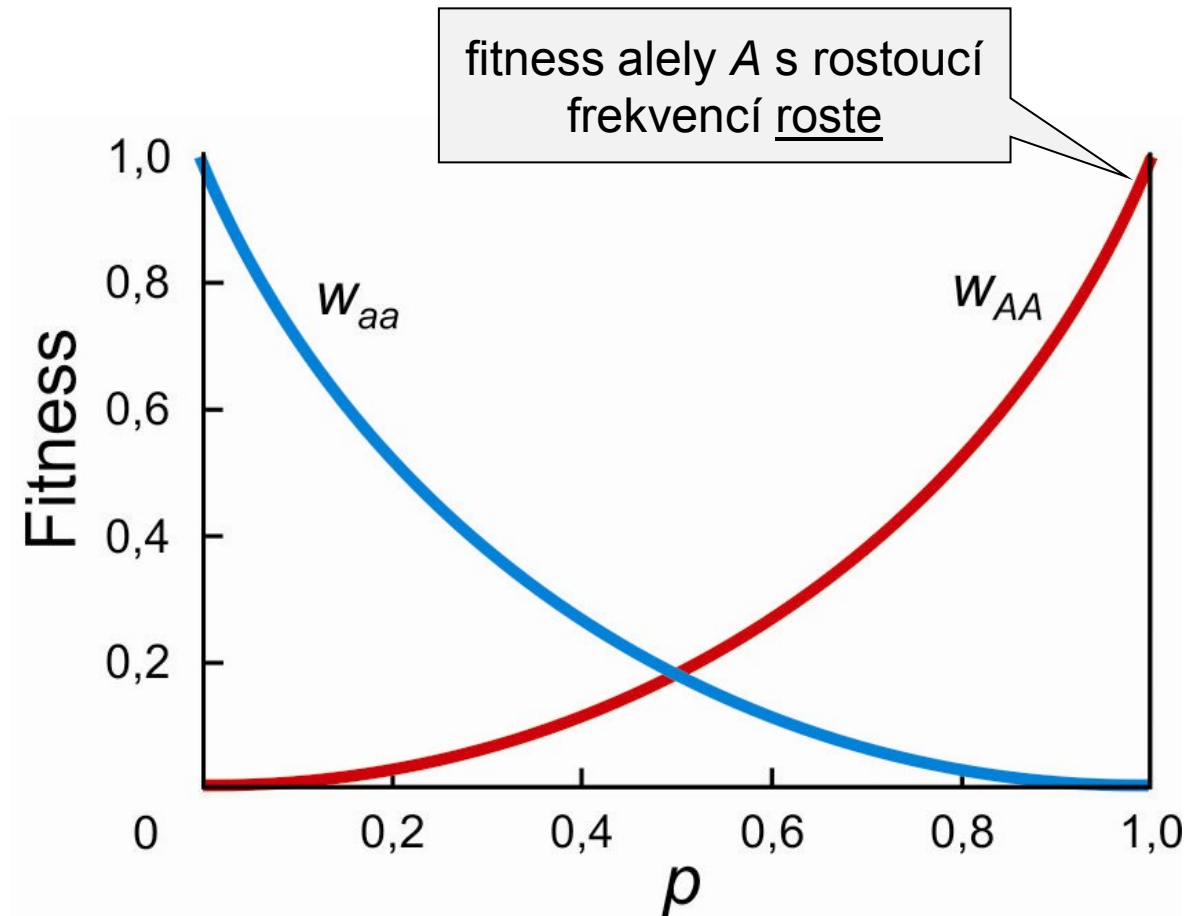
„pravohubý“



„levohubý“

4. Selektce závislá na frekvenci

II. Pozitivní frekvenčně-závislá selektce

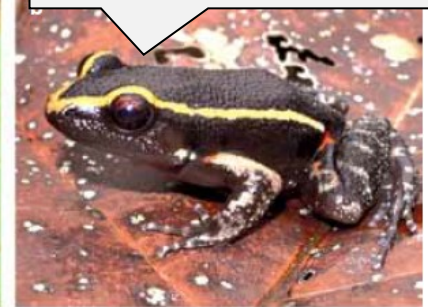


müllerovské mimikry:

Amereega hahneli
(jedovatá)



Lithodytes lineatus
(neškodná; batesovské
mimikry)



R. variabilis
(jedovatá)

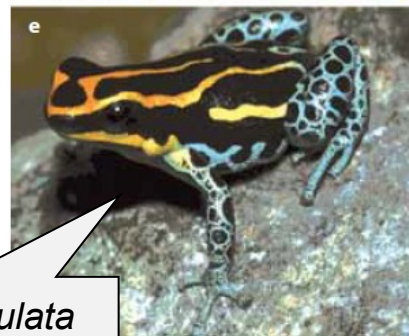


Heliconius melpomene



H. erato

R. ventrimaculata
(jedovatá)

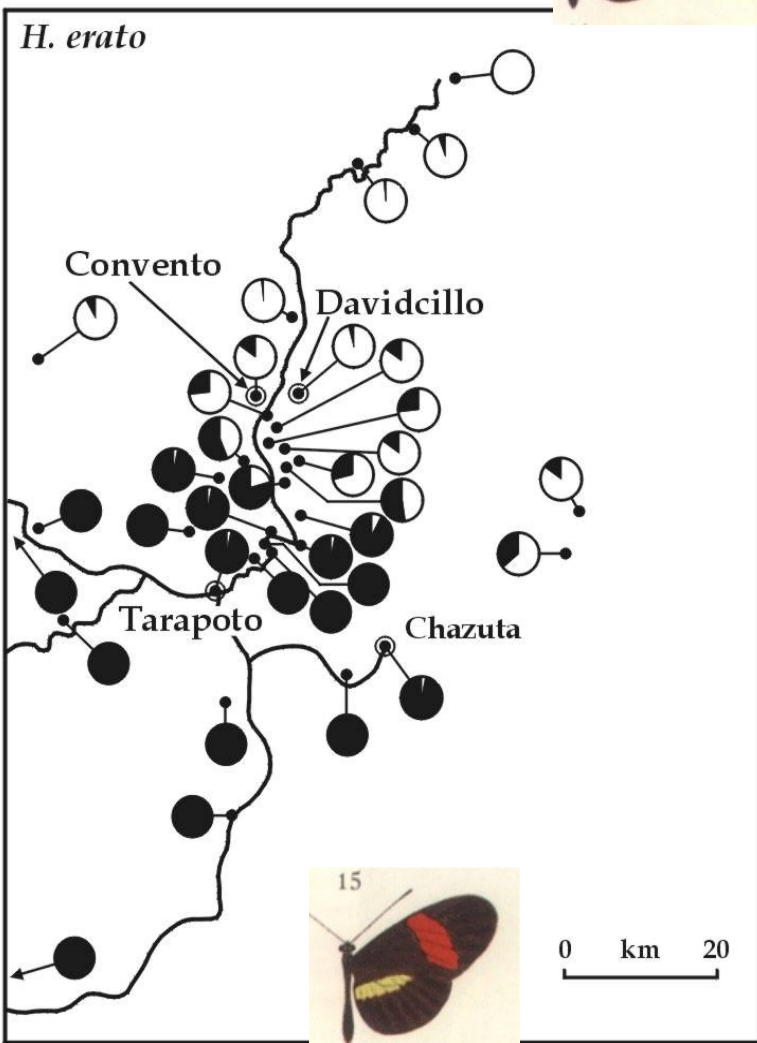


Ranitomeya imitator
(d,f; jedovatá)

Heliconius erato



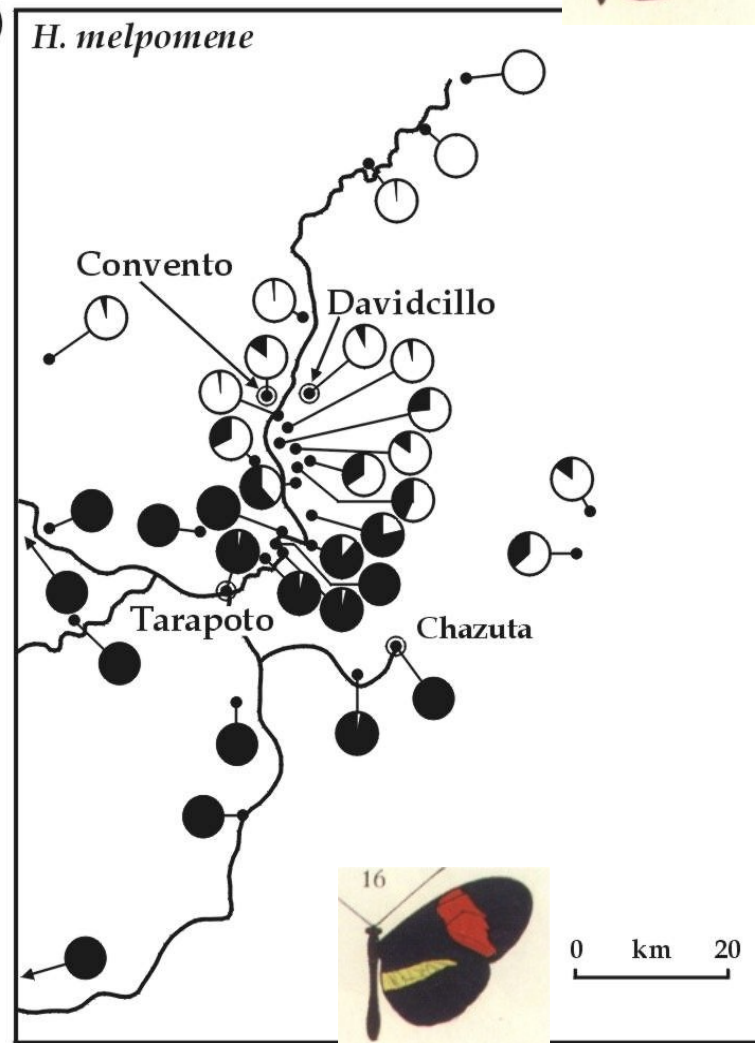
(a)



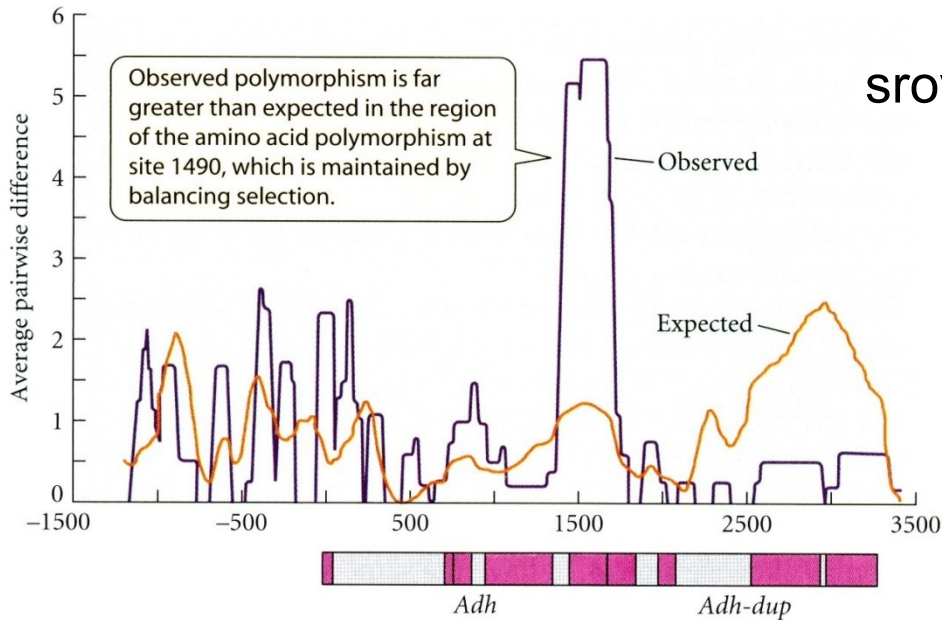
H. melpomene



(b)



Balancující selekce na molekulární úrovni:



srovnání skutečného a očekávaného polymorfismu v genu ADH

alely šimpanze (C) více podobné alelám člověka (H) než jiným C-alelám

geny MHC komplexu

